

## T R E Ś Ć .

	<i>Str.</i>
WSTĘP. Zadanie Mechaniki statystycznej. Przegląd treści . . . . .	55
<b>ROZDZIAŁ I. Zbiory Mechaniki statystycznej.</b>	
§ 1. Założenia dynamiczne. Pojęcia zasadnicze . . . . .	58
§ 2. Zbiory statystyczne i wirtualne . . . . .	60
§ 3. Całki niezmienne . . . . .	61
§ 4. Równowaga statystyczna . . . . .	66
<b>ROZDZIAŁ II. Zbiór czasowy.</b>	
§ 5. Zbiór czasowy i hipoteza ergodyczna . . . . .	68
§ 6. Założenie odmienne . . . . .	69
§ 7. Funkcje $V(\varepsilon)$ i $\omega(\varepsilon)$ dla gazu idealnego . . . . .	73
<b>ROZDZIAŁ III. Metoda zbiorów mikrokanonicznych.</b>	
§ 8. Temperatura . . . . .	74
§ 9. Pojęcie kontaktu cieplnego . . . . .	75
§ 10. Wzory pomocnicze . . . . .	76
§ 11. Równowaga temperatur . . . . .	80
§ 12. Entropia . . . . .	82
§ 13. Przemiany nieodwracalne . . . . .	83
<b>ROZDZIAŁ IV. Metoda zbiorów kanonicznych.</b>	
§ 14. Zbiór kanoniczny . . . . .	84
§ 15. Temperatura . . . . .	85
§ 16. Zbiór kanoniczny jako zbiór czasowy . . . . .	86
§ 17. Ciąg dalszy . . . . .	88
§ 18. Entropia . . . . .	90
<b>ROZDZIAŁ V. Układy molekularne.</b>	
§ 19. Funkcja rozdziału . . . . .	93
§ 20. Metoda zbiorów kanonicznych . . . . .	94
§ 21. Ciąg dalszy . . . . .	96
§ 22. Uogólnienie . . . . .	97
§ 23. Metoda zbiorów mikrokanonicznych . . . . .	98
<b>ROZDZIAŁ VI. Zbiory niestacjonarne.</b>	
§ 24. Dążność do równowagi statystycznej . . . . .	99
§ 25. Funkcje przeciętne . . . . .	100
§ 26. Twierdzenia pomocnicze . . . . .	101
§ 27. Analogia do przemian termodynamicznych nieodwracalnych . . . . .	103

STANISŁAW LORIA.

## O refrakcji i dyspersji światła w gazach.

Sur la réfraction et la dispersion de la lumière dans les gaz.

### WSTĘP.

Przedmiot, którym zająć się pragnę w niniejszym artykule, posiada tak bogatą literaturę teoretyczną i doświadczalną, że, chcąc zreferować go wyczerpująco zarówno pod względem historycznym jak i bibliograficznym, należałoby poświęcić mu dość pokaźną książkę. Sądzę jednak, że pożytek z tak pojętej monografii nie równoważyłby ilości włożonej w nią pracy. Wiele nader pomysłowych i z wielkim talentem wykonanych rozpraw teoretycznych przeszło już dziś do historii; wykształcone w tym okresie metody rachunku służą i obecnie za narzędzia myślowe w warsztacie pracy teoretycznej; doszukiwanie się jednak ich pochodzenia ma raczej znaczenie dla historii i metodologii fizyki, niż dla jej przyszłości. Czytelnicy, interesujący się tą stroną zagadnienia, znajdą wyczerpujące wiadomości w książce H. Kaysera „Handbuch der Spektroskopie“ Bd. IV, p. 245 w artykule A. Pflügera p. t. „Dispersion“.

W monografii niniejszej radbym dokonać szczegółowej rewizji dzisiejszych wiadomości o refrakcji i dyspersji światła w gazach w tym celu, aby dotychczasowy dorobek wiedzy w tej szczupłej dziedzinie oświetlić z punktu widzenia naczelnego w Optyce współczesnej zagadnienia: budowy materii. Opiszemy więc metody i wyniki pomiarów współczynnika załamania w gazach, rozpatrzmy jego zależność od chemicznego składu, ciśnienia i temperatury gazu, prześledzimy jego dyspersję na całym obszarze znanego nam widma i zapytamy, co nam o budowie materii powiedzieć mogą losy przenikającej ją fali świetlnej?

Wiemy oddawna, że materya działa na światło wyróżniająco w taki sposób, iż zmienia jego fazę i prędkość oraz zmniejsza amplitudę drgania w stop-

niu zależnym od długości fali. Stosunek prędkości światła w próżni ( $c_0$ ) do „prędkości w ośrodku materialnym“ ( $c$ ) wyraża się liczbą zależną od natury ciała oraz długości fali świetlnej i nosi nazwę współczynnika załamania

$$v = \frac{c_0}{c}.$$

Przez „prędkość światła“ w materii  $c = \frac{c_0}{v}$  rozumie się prędkość fazy w odróżnieniu od prędkości czoła fali. We wszystkich zjawiskach interferencyjnych, w zjawiskach dyspersji, absorbcji i wielu innych miarodajną jest właśnie prędkość fazy<sup>1)</sup>.

Ze znanej konstrukcji Huygensa wynika, że współczynnik  $v$  jest równy stosunkowi wstawy kąta padania ( $\alpha$ ) do wstawy kąta załamania ( $\beta$ ),

$$v = \frac{\sin \alpha}{\sin \beta}.$$

Zważywszy, iż częstość drgań świetlnych ( $n$ ) nie zależy od natury ośrodka, lecz tylko od warunków, w jakich się rodzi promieniowanie, dojdziemy do wniosku, że współczynnik załamania wyraża także stosunek długości fali w próżni do długości fali w materii,

$$v = \frac{\lambda_0}{\lambda},$$

różnica zaś  $v - 1 = \frac{\lambda_0 - \lambda}{\lambda}$  wskazuje, o jaki ułamek swej długości skróciła się fala  $\lambda_0$  przy przejściu z próżni do materii przezroczystej. Wyrażenie  $(v - 1) \cdot 10^6$ , nazywane „zdolnością załamania“ czyli „refrakcją“ ośrodka, ma przeto proste znaczenie fizyczne: wskazuje, o jaki ułamek swej prędkości  $c$  przyspieszyć by musiała faza fali biegnącej w materii, aby dorównać prędkości w próżni.

Wpływ materii na amplitudę drgań świetlnych znajduje wyraz w zjawisku wygaszenia. Stosunek natężenia ( $I_0$ ) światła, padającego prostopadłe na ciało jednorodne, do natężenia ( $I$ ) światła, które przeszło przez warstwę o grubości  $\lambda$ , wyraża się liczbą  $e^{-4\pi x}$ , gdzie  $e$  jest podstawą logarytmów naturalnych, zaś  $v$  liczbą zależną od natury ciała i długości fali użytego światła. Cauchy nazwał  $x$  wykładnikiem ekstynkcji. Dla wyczerpującej więc charakterystyki zachowania się materii wobec światła, wystarczy poznać przebieg współczynnika załamania  $v = v(\lambda)$  i wykładnika ekstynkcji  $x = x(\lambda)$ , jako funkcji długości fali. Wielkości te nabiorą szczególnego znaczenia, jeśli streszczoną w nich optyczną charakterystykę materii zestawimy z tem, co nam teoria Maxwella powiedziała o naturze fali świetlnej i co nam zjawiska

<sup>1)</sup> A. Sommerfeld, Über die Fortpflanzung des Lichtes in dispergierenden Medien. Weber-Festschrift str. 338 (1912).

promieniotwórcze, serye widmowe, zjawisko Zeemana, zjawisko fotoelektryczne i wiele innych zdradziły z tajemnic atomu. Nauczyliśmy się pojmować falę świetlną jako perturbację elektromagnetyczną, atom zaś materii wyobrażać sobie musimy jako nader zawiły układ elektronów ujemnych, związanych z nieznanym nam bliżej ładunkiem dodatnim. Z zestawienia tych faktów i poglądów wyłania się koniecznie niemal przypuszczenie, że możnaby gamę fal elektromagnetycznych, stanowiących widmo, rzucać w materię niejako na przespziegi, aby ze zmian, jakich dozna wśród roju konstelacji elektronowych prędkość oraz natężenie światła, dowiedzieć się lub domyśleć szczegółów o budowie atomu. Zapytajmy, jakich wiadomości spodziewać się możemy? Odpowiedzi na to pytanie udzieli nam teoria.

## ROZDZIAŁ I.

### Elektromagnetyczne teorie dyspersji.

**Teoria Maxwella.** Jedną z głównych cech teorii Maxwella jest wyobrażenie, że próżnię oraz wszelki ośrodek jednorodny można wyczerpująco scharakteryzować trzema stałymi wielkościami: zdolnością elektryczną ( $\epsilon$ ), zdolnością magnetyczną ( $\mu$ ) i przewodnictwem ( $\sigma$ ). Współczynnik załamania światła w materii przezroczystej ma być według Maxwella określony jej stałą elektryczną:

$$v^2 = \epsilon. \quad (1)$$

Związek ten zgadza się z doświadczeniem w zakresie fal dostatecznie długich. Z pomiarów współczynnika załamania fal Hertzowskich w wodzie wynika na  $v^2$  wartość 80; najlepsze pomiary stałej dielektrycznej wody dały na  $\epsilon$  liczbę 81. Wartości graniczne współczynników załamania dla  $\lambda = \infty$  w ciałach takich, jak flint, fluoryt, sól kamienna, kwarc, sylwin, obliczone z pomiarów Rubensa i Nicholisa<sup>1)</sup>, są bardzo zbliżone do pierwiastka kwadratowego ich stałej dielektrycznej.

Substancja	$v^2_x$	$\epsilon$
Flint . . . . .	6,77	6,7 — 9,1
Fluoryt . . . . .	6,09	6,8 — 6,9
Sól kamienna . . . . .	5,18	5,81 — 6,29
Kwarc . . . . .	4,58	4,55 — 4,73
Sylwin. . . . .	4,55	4,94

<sup>1)</sup> Rubens i Nichols, Wied. Ann. 60, str. 418 (1897).

W ciałach, słabo łamiących i rozpraszających fale świetlne np. w gazach, stwierdzić można prawdziwość reguły Maxwella także i w zakresie krótszych fal. Spółczynniki załamania dla powietrza, wodoru, bezwodnika węglowego są również bardzo zbliżone do pierwiastka kwadratowego stałej dielektrycznej, zmierzonej przez Boltzmanna.<sup>1)</sup>

Gaz	$\nu$	$\sqrt{\epsilon}$
Powietrze. . . . .	1,000 294	1,000 295
Wodór. . . . .	1,000 138	1,000 132
Bezwodnik węglowy .	1,000 449	1,000 473.

Natomiast porównanie współczynników dla światła sodowego w wodzie, alkoholu metylowym i alkoholu etylowym z ich stałą dielektryczną wskazuje, że w ośrodkach silnie łamiących i rozpraszających światło reguła Maxwella jest daleka od prawdy.

Zupełnie już poza ramy teorii Maxwella wykracza wybitna zależność prędkości światła w materii od częstości uderzeń fali. Charakterystyczne zaś twierdzenie Maxwella, że wszelki izolator jest przezroczysty, a tylko ciała przewodzące prąd elektryczny pochłaniać mogą energię świetlną, jest sprzeczne z faktem, iż w każdym t. zw. przezroczystym ośrodku materialnym istnieją mniej lub więcej rozległe i liczne smugi i prążki absorbcyjne.

**Teoria elektronów.** W teorii elektronowej spotykamy trzy odrębne formy ujęcia zjawisk dyspersji i absorbcji: teorie Drudego<sup>2)</sup>, Lorentza<sup>3)</sup> i Plancka<sup>4)</sup>. Dla dielektryków gazowych wyrachował Natanson<sup>5)</sup> wzory ogólniejsze, które prowadzą do każdej z wyżej wymienionych form jako do przypadków szczególnych, wynikających z odrębnej interpretacji procesu ekstynkcji.

Teoria elektronów nie zna tak prostych cech materii, jak zdolność elektryczna, magnetyczna, lub przewodnictwo. Wszystkie zjawiska, które według Maxwella kładź zwykliśmy na karb stałej dielektrycznej, pochodzą, w myśl hipotezy Lorentza, z łącznej akcyi wielkiej liczby współcześnie działających elektronów. Istnienie przybliżenie stałej wielkości, zwanej stałą dielektryczną.

<sup>1)</sup> L. Boltzmann, Pogg. Ann. 165, str. 407 (1873). Wien. Ber. 69, str. 795 (1874).

<sup>2)</sup> P. Drude, Lehrbuch der Optik II A fl. Lpz. 1906.

<sup>3)</sup> H. A. Lorentz, La théorie de Maxwell etc. Leiden 1892; Kon. Akad. v. Wet. te Amsterdam Afd. Deel VI, str. 506 (1898). Proc. Amsterdam, str. 591 (1905); The Theory of electrons Lpz. 1909.

<sup>4)</sup> M. Planck, Berl. Ber. str. 470 (1902), str. 480 (1903), str. 740 (1904), str. 382 (1905).

<sup>5)</sup> L. Natanson, Bull. Acad. Cracovie, kwiecień str. 316 (1907).

jest pozorem, zbliżonym do prawdy tam, gdzie rola pojedynczych elektronów oraz ich cechy indywidualne usuwają się z pod naszej kontroli np. w polu elektrycznym stałym, lub bardzo wolno zmiennym. Ukryta pod tą pozornie stałą i prostą cechą, w istocie zaś zawiła struktura pola elektrycznego w materii odślania się nam jednak pod uderzeniem fali bijącej setki bilionów razy w sekundzie. Przy takiej bowiem częstości uderzeń występują na jaw indywidualne własności związanych z materią elektronów; rozbijane ładunki elektryczne poczynają drgać i budząc w materii własne zmienne pola elektromagnetyczne, wpływają wyróżniająco na przenikające ją fale.

Elektron związany z materią jest układem zarówno mechanicznym jak i elektromagnetycznym. Jako układ mechaniczny, zdolny do drgań, scharakteryzowany jest warunkami dynamicznymi, które wynikają z zasadniczych przypuszczeń teorii dyspersyi, poczętej jeszcze przez Maxwella<sup>1)</sup>, a rozwiniętej przez Sellmeiera<sup>2)</sup> i Helmholtza<sup>3)</sup>.

Niechaj na cząstkę o masie  $m = 1$ , umieszczoną w początku układu współrzędnych działa w kierunku osi  $X$  siła restytucyjna, proporcjonalna do oddalenia ( $x$ ) od środka układu i równa  $-n_0^2 x$ , oraz siła hamująca, proporcjonalna do prędkości, równa  $-2k \frac{dx}{dt}$ . Stała  $n_0^2$  odpowiadałaby częstości drgania własnego, swobodnego i niehamowanego;  $k$  jest stałą, która określa wartość oporu, jakiego ruch cząstki  $m$  w każdym momencie doznaje. Równanie ruchu ma w takich warunkach postać:

$$\frac{d^2 x}{dt^2} + 2k \frac{dx}{dt} + n_0^2 x = 0. \quad (1)$$

Całą ogólną tego liniowego równania różniczkowego będzie, jak wiadomo, wyrażenie

$$x = e^{-kt} (A e^{t\sqrt{k^2 - n_0^2}} + B e^{-t\sqrt{k^2 - n_0^2}}). \quad (2)$$

Jeżeli  $k^2 > n_0^2$ , ruch jest aperyodyczny, zanikający bez okresowości. Jeżeli  $k^2 < n_0^2$ ,  $\sqrt{k^2 - n_0^2}$  jest wielkością urojoną i wyrażenie poprzednie przyjmie postać:

$$x = e^{-kt} (A e^{it\sqrt{n_0^2 - k^2}} + B e^{-it\sqrt{n_0^2 - k^2}}), \quad (3)$$

gdzie  $i = \sqrt{-1}$ .

Znaczenie tej funkcji wykładniczej o wykładnikach urojonych zrozumieć łatwo, jeśli się ją przekształci przy pomocy wzoru Moirre'a:

<sup>1)</sup> Lord Rayleigh, Phil. Mag. 48, str. 151 (1889) [Camb. Calendar 1869].

<sup>2)</sup> Sellmeier, Pogg. Ann. 143, str. 272 (1871); 145, str. 399, 147, str. 386.

<sup>3)</sup> H. Helmholtz, Pogg. Ann. 154, str. 582 (1875).

$$e^{i\alpha} = \cos \alpha + i \sin \alpha,$$

otrzymuje się wówczas:

$$x = A e^{-kt} (\cos t \sqrt{n_0^2 - k^2} + i \sin t \sqrt{n_0^2 - k^2}) + B e^{-kt} (\cos t \sqrt{n_0^2 - k^2} - i \sin t \sqrt{n_0^2 - k^2}). \quad (4)$$

$A$  i  $B$  są stałe dowolne, które mogą być także urojone. Napiszmy:

$$A = p - qi, \quad B = p + qi,$$

wówczas będzie:

$$x = 2p e^{-kt} \cos t \sqrt{n_0^2 - k^2} + 2q e^{-kt} \sin t \sqrt{n_0^2 - k^2}. \quad (5)$$

Jeśli wreszcie zastąpimy  $p$  i  $q$  stałymi dowolnymi  $C$  i  $\gamma$  według związków

$$2p = C \sin \gamma, \quad 2q = C \cos \gamma,$$

otrzymamy:

$$x = C e^{-kt} \sin (t \sqrt{n_0^2 - k^2} + \gamma). \quad (6)$$

Wzór ten wyraża więc drganie zanikające o amplitudzie  $A e^{-kt}$ , o okresie  $\frac{2\pi}{\sqrt{n_0^2 - k^2}}$ , tem większym, im większy jest czynnik dysypacyjny  $k$  i o fazie początkowej  $\gamma$ .

Jeśli oprócz wspomnianych sił działa na cząstkę  $m$  także siła zewnętrzna, peryodycznie zmienna o częstotliwości  $n$ , równanie ruchu przyjmie postać:

$$\frac{d^2 x}{dt^2} + 2k \frac{dx}{dt} + n_0^2 x = X \sin nt. \quad (7)$$

Całka ogólna tego równania wyraża się wzorem:

$$x = \frac{X \sin \delta}{2kn} \sin (nt - \delta) + C e^{-kt} \sin (t \sqrt{n_0^2 - k^2} + \gamma). \quad (8)$$

Drugi wyraz z prawej strony posiada czynnik zanikający; po dostatecznie długim czasie drganie swobodne zanika, a pozostaje tylko drganie wymuszone. Teoretycznie nastąpi to po nieskończeniu długim czasie dla  $t = \infty$ . Z początku ruch cząstki  $m$  będzie bardzo zawiły, złożony z drgania własnego oraz z drgania, które narzucone zostaje cząstce przez peryodycznie zmienną siłę zewnętrzną. Charakterystyczną cechą dynamiki tego zjawiska jest fakt, że pomiędzy drganiem wymuszonym, wyrażonym przez  $x$ , a peryodycznie zmienną siłą, wytworzy się pewna różnica faz, określona równaniem

$$\operatorname{tg} \delta = \frac{2kn}{n_0^2 - n^2}. \quad (9)$$

Szczególnie interesującym dla teorii dyspersyi jest przypadek hamowanego współdrgania cząstki, która z początku była nieruchoma. Rachunek ten opracowany został dokładnie przez Buddego w rozprawie p. t. „Zur Theorie des Mitschwingens“<sup>1)</sup>. W tem miejscu wystarczy nadmienić, że całka ogólna da się wówczas wyrazić związkami:

$$x = A \left( \cos nt - e^{-kt} \cos qt - \frac{k}{q} e^{-kt} \sin qt \right) + B \left( \sin nt - \frac{n}{q} e^{-kt} \sin qt \right). \quad (10)$$

We wzorze (10) oznacza

$$\left. \begin{aligned} q &= \sqrt{n_0^2 - k^2}, \\ A &= \frac{-2knX}{(q^2 + k^2 - n^2)^2 + 4k^2 n^2}, \\ B &= \frac{(q^2 + k^2 - n^2)X}{(q^2 + k^2 - n^2)^2 + 4k^2 n^2}. \end{aligned} \right\} \quad (11)$$

Z określenia wielkości  $A$  i  $B$  wynika, że

$$B = -\frac{q^2 + k^2 - n^2}{2kn} A, \quad (12)$$

a przy pomocy wzoru (12) można wyrażenie (10) przepisać ostatecznie w formie<sup>2)</sup>

$$x = A \left( 2 \sqrt{1+f^2} \sin \frac{n-q}{2} t \cdot \sin \left( \frac{n+q}{2} t + \operatorname{arc} \operatorname{tg} f \right) + h \sin \left( qt + \operatorname{arc} \operatorname{tg} \frac{1-e^{-kt}}{f-g e^{-kt}} \right) \right), \quad (13)$$

gdzie

$$\left. \begin{aligned} \text{przez } h &\text{ oznaczono } \sqrt{(1-e^{-kt})^2 + (f-g e^{-kt})^2} \\ \text{„ } f &\text{ „ } \frac{n^2 - q^2 - k^2}{2kn} \\ \text{„ } g &\text{ „ } \frac{n^2 - q^2 + k^2}{2kq}. \end{aligned} \right\} \quad (14)$$

Fizyczne znaczenie wzoru (13) jest następujące: Punkt  $m$  porusza się

<sup>1)</sup> E. Budde, Verh. d. D. Phys. Ges. 18, str. 121 (1911).

<sup>2)</sup> l. c. str. 134 i 135 równania (46), (47), (48), (49), (50).

ruchem drgającym o okresie  $\frac{4\pi}{n+q}$ ; amplituda tego drgania jest również okresowo zmienna w okresie  $\frac{4\pi}{n-q}$ ; do tych drgań, wywołujących dudnienie w okresie  $\frac{4\pi}{n-q}$ , dodaje się drganie czyste o zmiennej z czasem różnicy faz. Łatwo dostrzedz że — jak to wyżej wspomniałem — zawiły ten ruch początkowy przeobraża się z czasem (teoretycznie dla  $t = \infty$ ) w drganie wymuszone o amplitudzie

$$A = \frac{X}{V(n_0^2 - n)^2 + 4k^2 n^2},$$

która osiąga wartość maksymalną wówczas, gdy

$$-4n(n_0^2 - n^2) + 8k^2 n = 0,$$

to jest gdy

$$n^2 = n_0^2 - 2k^2. \quad (15)$$

Równanie (15) określa więc warunek, jaki spełniać musi częstość drgań pobudzających, aby przy danym ustroju zdolnego do współbrzmienia układu wywołana być mogła maksymalna rezonancja.

W obrazie teorii elektronowej każdy atom izolatora jest konstelacją elektronów związanych. Zważywszy nader zawiłą (jak świadczą serje linii widmowych) strukturę atomu, wyobrazić sobie musimy, że elektrony te należą do różnych kategorii, z których każda nacechowana będzie inną częstością własnego drgania t. zn. inną  $n_0$ .

Dla uproszczenia pomyślny substancję złożoną z elektronów związanych, należących do jednej kategorii; wyobraźmy sobie, że każda cząsteczka tej substancji zawiera tylko jeden elektron i że w jednostce objętości owego ciała mieści się  $N$  cząsteczek, więc i tyleż elektronów. Na taki izolator pada fala elektromagnetyczna, w której wektor elektryczny pulsuje  $n$  razy w sekundzie. Pod wpływem fali budzi się w materii siła, wywołująca drgania elektronów. Ta siła  $X$  składać się będzie z dwóch części. Oprócz wektora  $E$ , działającego na każdy elektron o ładunku  $e$  siłą  $eE$ , zrodzi się, jak wykazał Lorentz<sup>1)</sup>, siła dodatkowa  $\bar{\omega}P$ , zmienna, o tym samym okresie zmienności co  $E$ , a pochodząca od polaryzacji elektrycznej cząsteczek, zawierających elektrony. Jeżeli  $N$  oznacza liczbę elektronów w jednostce objętości, zaś  $x, y, z$  składowe odchylenia elektronu z położenia równowagi, wówczas polaryzacja jednostki objętości wyrazi się wektorem o składowych:

$$P_x = N e x; \quad P_y = N e y; \quad P_z = N e z. \quad (16)$$

Spółczynnik zaś  $\bar{\omega}$  jest w ciałach izotropowych mało różny od  $\frac{4\pi}{3}$ ;

$$\bar{\omega} = \frac{4\pi}{3} (1 + s).$$

$s$  jest tu wielkością stałą, mniejszą od 1, zależną od gęstości, od geometrycznego rozłożenia cząsteczek ciała, ewentualnie od sposobu ich ruchu, oraz od nieznaney nam bliżej natury sił restytucyjnych, t. zn. od  $n_0$ . Fizyczne znaczenie wielkości  $\bar{\omega}P$  zrozumieć łatwo, jeśli się zważy, że siła  $E$ , działająca w każdym miejscu izolatora złożonego z konstelacji elektronowych i nawiezonego falą, pochodzi: 1<sup>o</sup>) od fali, 2<sup>o</sup>) od poszczególnych elektronów  $e', e'', e'''$  i t. d. Natomiast siła  $X$ , pobudzająca do drgań pewien wyszczególniony elektron np.  $e'$ , pochodzi: 1<sup>o</sup>) również od fali, 2<sup>o</sup>) od wszystkich elektronów  $e'', e'''$  i t. d. z wyjątkiem tego ( $e'$ ), którego drganie bierzemy właśnie na uwagę.

Równanie drgania wymuszonego elektronów, pobudzanych siłą  $X$ , przyjmie więc postać

$$\frac{d^2 x}{dt^2} + 2k \frac{dx}{dt} + n_0^2 x = \frac{e}{m} (E_x + \bar{\omega} P_x). \quad (17)$$

Pisząc takie równanie drgania, tworzymy już pewien, w ogólnych przy najmniej zarysach określony, szkic budowy atomu. Spojrzmy nań od strony mechanicznej. Przypuszczamy, że w atomie istnieje siła sprężysta, ściągająca elektron w położenie równowagi; jej składowe są proporcjonalne do składowych odchylenia ( $x, y, z$ ):

$$-fx, \quad -fy, \quad -fz$$

Dodatnia stała wielkości  $f$  zależy od natury atomu, a indywidualne cechy jego budowy ujawnią się w stałej

$$n_0 = \sqrt{\frac{f}{m}}.$$

Głębiej jeszcze w istotę materii wiedzie przypuszczenie, że elektron, poruszający się w atomie doznaje oporów ruchu, których genezę przypisujemy sile o składowych:

$$-g \frac{dx}{dt} \quad -g \frac{dy}{dt} \quad -g \frac{dz}{dt}.$$

Stała i dodatnia wielkość  $g$  będzie tu wyrazem nieznaney nam własności dynamicznych tego ugrupowania elektronów, które zwiemy atomem; ona

<sup>1)</sup> H. A. Lorentz, La théorie de Maxwell § 105 i 106. The theory of electrons, str. 138 i 139.

ponosi odpowiedzialność za dysypację, jakiej doznaje energia promieniowania, spływająca w materię wzdłuż wektora Poyntinga.

Tak zwany czynnik dysypacyjny  $k$ , występujący w równaniu drgania elektronu

$$k = \frac{g}{2m},$$

musi być zawsze większy od zera, ponieważ każda góra czy próżek absorbcyjny posiada skończoną wysokość. Wychylenie pobudzanego do współbrzmienia elektronu nie rośnie nieograniczenie, nigdy więc  $k$  nie może się stać zerem. Nawet wówczas, gdy zachodzi zupełna rezonancja, uwzględniać należy czynnik dysypacyjny, choćby on był najmniejszy.

Zupełniejszym staje się ten obraz, jeśli nań spojrzymy od strony elektrycznej.

Ponieważ fala elektromagnetyczna, wpadająca z próżni w materię przezroczystą, dostaje się w rój grup elektronowych, przeto decydujący wpływ na jej losy mieć będą nie te właściwości elektryczne i magnetyczne, które cechują każdą grupę, czy każdy elektron z osobna, lecz tylko pewne wartości średnie, uzyskane przez zcałkowanie działań elementarnych w obrębie obszaru dostatecznie drobnego, w porównaniu ze skalą przestrzennej zmienności zjawiska (długości fali), a dostatecznie wielkiego, w stosunku do wymiarów elektronu.

Pole elektromagnetyczne w materii izotropowej scharakteryzowane będzie w tych warunkach średnią wartością elementarnej indukcji elektrycznej ( $\bar{d}$ ) i elementarnej siły magnetycznej ( $\bar{h}$ ), które, łącznie z pochodną polaryzacji  $\frac{dP}{dt} = \bar{\rho}v$ , wiążą się w znane równania różniczkowe, analogiczne do równań zasadniczych teorii Maxwella<sup>1)</sup>. Równanie fali płaskiej, poprzecznej, spolaryzowanej liniowo, rozchodzącej się w kierunku osi  $Oz$  i niosącej zmienne peryodycznie pole elektryczne  $E \parallel ox$  i magnetyczne  $H \parallel oy$  przyjmie wtedy postać

$$\frac{\partial^2}{\partial t^2} (E_x + 4\pi P_x) - c_0^2 \frac{\partial^2 E_x}{\partial z^2} = 0. \quad (18)$$

Losy zaś tego zaburzenia, scharakteryzowanego częstością  $n$ , jego prędkość i głębokość przenikania zależą od zespolonego stosunku  $\frac{P_x}{E_x}$ . Jako najogólniejszy bowiem obraz zjawisk, zachodzących w tych warunkach w izolatorze, otrzymujemy następujące równanie:

<sup>1)</sup> H. A. Lorentz, The theory etc. str. 134—135.

$$(\nu - i\kappa)^2 - 1 = 4\pi \frac{P_x}{E_x}, \quad i = \sqrt{-1}. \quad (19)$$

W teorii Maxwella prawa strona tego równania była równa stałej dielektrycznej ( $\epsilon$ ); wektor bowiem  $P$  był tam identyczny z  $D = \frac{\epsilon E}{4\pi}$ .

Ze stanowiska teorii elektronowej nie ma żadnego prostego związku między  $P$  i  $E$ . Zespolony stosunek  $\frac{P_x}{E_x}$  zależy bowiem od natury samego zjawiska, może być inny w stałym, a inny w zmiennym polu. Jeśli zjawiskiem jest zaburzenie elektromagnetyczne, zwane falą świetlną, stosunek ten jest funkcją częstości drgania. Równanie (19) daje tedy wyraz zależności spójnika załamania i wykładnika ekstynkcji od długości fali.

Aby obliczyć  $\frac{P_x}{E_x}$ , przypuścmy, że

$$x = x_0 e^{i n t},$$

gdzie  $e$  jest podstawą logarytmów naturalnych.

Przy pomocy równania (17) otrzymamy wówczas na wyrażenie dyspersji i absorbcji światła w takiej substancji, która składa się z jednej tylko kategorii elektronów i której każda cząsteczka zawiera jeden tylko elektron, równania<sup>1)</sup>

$$\left. \begin{aligned} \nu^2 - \kappa^2 - 1 &= 4\pi \frac{e^2 N}{m} \frac{F}{F^2 + G^2} \\ 2\nu\kappa &= 4\pi \frac{e^2 N}{m} \frac{G}{F^2 + G^2}, \end{aligned} \right\} \quad (20)$$

w których

$$\left. \begin{aligned} F &= n_0^2 - n^2 - \bar{\omega} \frac{e^2 N}{m} \\ G &= 2kn. \end{aligned} \right\} \quad (20')$$

Mówią one, że losy fali świetlnej w materii, to znaczy prędkość, z jaką się rozchodzi

$$c = c(n)$$

i stopień stłumienia, jakiego doznaje  $\kappa = \kappa(n)$ , są wzajem od siebie zależne i określone zarówno okresem zmienności samego zaburzenia  $\left(\frac{2\pi}{n}\right)$  jak i liczbą

<sup>1)</sup> W. Natanson, Bull. Acad. Cracovie, Décembre 1909, str. 920.

( $N$ ), ładunkiem ( $e$ ), masą ( $m$ ), sposobem wiązania ( $n_0$ ) elektronów oraz naturą sił hamujących ich ruch w atomie.

**Mechanizm absorbcji.** Teorie Drudego<sup>1)</sup> i Voigta<sup>2)</sup> posługują się twierdzeniem, że ruch elektronu w atomie doznaje oporów, podobnych do oporu tarcia; nie wdając się w kinetyczną interpretację tego hamującego czynnika, wprowadzają go w formie nieokreślonej bliżej stałej do równań różniczkowych drgań wymuszonych, pomijając drgania własne, jako zanikające z czasem i nie odgrywające roli w zjawiskach stacjonarnych. Ten fenomenologiczny sposób ujęcia zagadnienia ekstynkcyi może i powinien stanowić tyłko stadyum prowizoryczne.

Teorya molekularna musi dążyć do ujęcia mechanizmu tego hamowania, mechanizmu, któryby był możliwą i konieczną konsekwencją elektrodynamicznych własności całego układu. Do tego celu zdążają różnymi drogami teorye Lorentza i Plancka.

Według Lorentza<sup>3)</sup> drgania elektronów w atomie nie są niczem hamowane; składają się z drgań wymuszonych

$$\frac{d^2 x}{dt^2} + n_0^2 x = e X$$

oraz drgań własnych

$$\frac{d^2 x}{dt^2} + n_0^2 x = 0,$$

które razem sprawiają wychylenie z położenia równowagi

$$x = \frac{X_0 e/m \cdot e^{i n t}}{n_0^2 - n^2} + A e^{i n_0 t} + B e^{-i n_0 t}. \quad (21)$$

Obok tego regularnego, optycznego ruchu trzeba jednak elektronom przypisać także ruch nieuporządkowany cieplny, który — w myśl teoryi kinetycznej — odbywają wraz z cząsteczkami gazu. Owóż i ten ruch przyczynia się do średniej wartości wychylenia:  $\bar{x}$ , i jego to wpływ właśnie odsłania nam wewnętrzny mechanizm absorbcji. Chwila spotkania jednej cząstki z drugą jest dla elektronów, drgających w jej łonie, katastrofą. Regularny, uporządkowany, optyczny ruch elektronów zostaje na chwilę zniszczony, zamieniony na cieplny, poczem dopiero budzić się może na nowo pod wpływem uderzeń wstrząsającej nim fali. Średnia wartość wychylenia  $\bar{x}$ , a więc i polaryzacja  $P$

zależać będą od częstości tych katastrof, czyli innemi słowy od średniej wartości czasu  $\tau$ , w ciągu którego elektron drgał regularnie bez zaburzeń.

Skutkiem przeto spotkań, część energii padającego promieniowania w stanie zużyta na podniesienie temperatury, zdegradowana, czyli pochłonięta; działanie zaś takiego mechanizmu będzie poniekąd równoważne działaniu siły hamującej ruch elektronów, ponieważ przeszkadza nieograniczonemu nagromadzeniu się energii w rezonatorach, nastrojonych na częstość drgań fali. Lorentz obliczył, że ten hamujący wpływ spotkań będzie przybliżenie równoważny owym nieokreślonym bliżej oporom, wprowadzonym przez Drudego i Voigta, które w ten sposób otrzymują interpretację kinetyczną, wyrażoną związkami:

$$g = \frac{2m}{\tau}. \quad (22)$$

Według Lorentza absorbcja jest więc zjawiskiem par excellence molekularnem; przyczyn jej nie należy doszukiwać się wewnątrz atomów, lecz zewnątrz nich, w mechanizmie spotkań między cząsteczkami. Z punktu widzenia zagadnienia o budowie atomu, posiada teorya Lorentza tę wyższość ponad teoryą Drudego i Voigta, że usuwa nieokreślony czynnik dysypacyjny  $k$ , zastępując go znaną z teoryi kinetycznej gazów średnią liczbą spotkań, jakich doznaje cząsteczka w jednostce czasu.

Lorentz<sup>1)</sup> porównał wnioski swojej teoryi z doświadczeniami Ångströma nad absorbcją ultraczerwonych fal w bezwodniku węglowym. Okazało się, że  $\tau$  jest 18000 razy mniejsze niż czas pomiędzy spotkaniami cząsteczek. Okoliczność ta skłoniła Lorentza do modyfikacji pierwotnej teoryi. Sądzi mianowicie, że trzeba w łonie atomu wyobrazić sobie katastrofy, któreby częściej wywoływały zaburzenia w regularnych drganiach elektronu. Natanson<sup>2)</sup> wyraził zdanie, że przy obecnym stanie wiadomości o absorbcji w ultraczerwonej części widma nie można jeszcze rozstrzygnąć, czy konieczna jest zmiana pierwotnej teoryi, ponieważ nie znamy jeszcze prawdziwej wartości wykładnika ekstynkcyi ( $\kappa$ ). Z obliczeń opartych na obserwacjach, które się odnoszą do przezroczystości atmosfery, możnaby wyprowadzić wniosek, że  $\tau$  jest 20 razy większe, niż czas między spotkaniami.

Myśl przewodnia teoryi Plancka streszcza się w twierdzeniu, że dysypacja energii ma źródło w elektrodynamicznym ustroju zbudowanego z elektronów atomu. Nie szuka go jednak Planck w niedającej się bliżej określić, ad hoc wprowadzonej sile; przyczynę hamowania ruchu elektronów znajdzie-

<sup>1)</sup> P. Drude, Wied. Ann. 48, str. 536 (1893).

<sup>2)</sup> W. Voigt, Wied. Ann. 67, str. 345 (1899). Magneto- und Elektrooptik, str. 104 (1908).

<sup>3)</sup> Lorentz, The theory etc. Nota 57, str. 307.

<sup>1)</sup> H. A. Lorentz, Proc. Amsterdam, Dec. 1905, str. 605.

<sup>2)</sup> L. Natanson, Bull. Acad. Cracovie, Déc. 1909, str. 939.

my bowiem w stracie energii wypromieniowywanej przez drgający elektron. Ilość energii wypromieniowywanej w ciągu sekundy jest, jak wiadomo<sup>1)</sup>, proporcjonalna do drugiej potęgi przyśpieszenia. To promieniowanie oddziałuje zaś wstecz na ruch elektronu. Jeżeli przez  $e$  oznaczymy ładunek elektronu w mierze elektrostatycznej, przez  $v$  jego prędkość mniejszą niż  $c_0$ , wówczas t. z. siła dysypatywna, która także przeszkadza ruchowi, lecz inaczej niż to czynić miała owo przez Druwego i Voigta w łonie atomu przypuszczalne tarcie, wyrażona będzie wzorem:

$$K = -\frac{2}{3} \frac{e^2}{c_0^3} \frac{d^2 v}{dt^2}. \quad (23)$$

Równanie przeto drgania ma mieć według Plancka postać

$$\frac{d^2 x}{dt^2} - \frac{2}{3m} \frac{e^2}{c_0^3} \frac{d^3 x}{dt^3} + n_0^2 x = \frac{e}{m} X. \quad (24)$$

Czynnik dysypacyjny otrzymuje wówczas interpretację elektronową, wyrażoną związkami:

$$k = \frac{e^2 n^2}{3m c_0^3}, \quad (25)$$

mechanizm zaś absorbcyjny sprowadzony zostaje do rozpraszania energii na resonatorach. Pod tym względem teoria Plancka jest niejako transpozycją myśli Rayleigha<sup>2)</sup> na język elektronowy.

Z punktu widzenia kwestyi budowy atomu, przedewszystkiem nas w tej chwili obchodzącej, posiada teoria Plancka, podobnie jak i teoria Lorentza, tę wyższość nad teoryami fenomenologicznymi, że usuwa najmniej fizycznie określoną stałą  $K$ , zastępując ją znanymi składnikami wielkościami  $e$ ,  $m$ ,  $c_0$  i  $n$ .

**Zastosowanie do gazów.** W zadaniach, któremi zajmować się będziemy wyłącznie w dalszym ciągu, kwestya mechanizmu ekstynkcji gra rolę drugorzędną. Z wyjątkiem nielicznych tylko przypadków, gazy nie posiadają bowiem w dostępnych nam częściach widma żadnych izolowanych dziedzin absorbcyj. Szerokie i rozlane smugi absorbcyjne w bezwodniku węglowym i w parze wodnej w podczerwonym widmie lub w gazach zabarwionych (chlor, brom, jod) mają charakter zwartych, bliskich siebie i nakładających się częściowo systemów prążków. Przebiegu funkcji  $\kappa(\lambda)$  w obrębie tych dziedzin, mimo wielu dotychczasowych badań, właściwie nie znamy wcale. Nieliczne

zaś izolowane prążki absorbcyjne w widzialnym widmie par metali i kilku świecących gazów są tak wąskie i strome, że niepodobna w nich prześledzić przebiegu  $\kappa$  jako funkcji długości fali. Wszystko niemal, co wiemy o refrakcy i dyspersji w gazach, odnosi się do tych dziedzin widma, które są odległe od prążków absorbcyjnych, w których więc  $k=0$ ,  $\kappa'=0$ , a  $\frac{\delta v}{\delta \lambda} < 0$ ; innymi słowy: znamy — ściśle biorąc — dobrze te tylko optyczne własności gazów, które się odnoszą do dyspersji normalnej.

W ograniczeniu zaś do tych tylko obszarów widmowych równania (20) uproszczą się znacznie, zwłaszcza jeśli zważymy, że w odniesieniu do gazów w stanie normalnym, dalekich od skroplenia, wolno także przypuścić, że

$$s=0; \quad \bar{\omega} = \frac{4\pi}{3}. \quad (26)$$

Otrzymamy wówczas zamiast (20) równości:

$$F(v^2 - 1) = 4\pi \frac{e^2 N}{m}, \quad (27)$$

$$F = n_0^2 - n^2 - \frac{4\pi e^2 N}{3m},$$

k którym z łatwością nadać można postać równania<sup>1)</sup>

$$\frac{v^2 - 1}{v^2 + 2} = \frac{4\pi e^2 N}{3m} \frac{1}{n_0^2 - n^2}. \quad (28)$$

Równania (27) i (28) nadają się dobrze do porównania z doświadczeniem. Pierwsze z nich mówi, że  $v$  jest  $>1$  w tej dziedzinie widma, gdzie  $n_0 > n$  tak, że mianownik jest  $>0$ . W tym obszarze widmowym  $v$  rośnie wówczas z częstotliwością drgania. Przekonamy się w dalszym ciągu, iż w gazach przebieg współczynnika załamania odpowiada dość wiernie powyższemu wzorowi i będziemy mogli przy jej pomocy wyznaczyć częstotliwości drgań własnych  $n_0$ . Równanie (28) przybiera często w praktyce prostszą jeszcze postać, dzięki temu, że w gazach nie zbyt zgęszczonych jest

$$\frac{4\pi e^2 N}{3m} \ll n_0^2 - n^2. \quad (29)$$

<sup>1)</sup> M. Abraham, Theorie der Elektrizität, Bd. II, § 9, str. 72.

<sup>2)</sup> Lord Rayleigh, Scientific Papers I, 1899; IV, 1903.

<sup>1)</sup> L. Natanson, l. c. str. 328.



Można przeto z dostatecznym przybliżeniem napisać  $F = n_0^2 - n^2$  i zamiast (27) użyć związku

$$v^2 - 1 = 4\pi \frac{e^2 N}{m} \frac{1}{n_0^2 - n^2}, \quad (30)$$

czyli

$$\left. \begin{aligned} v^2 - 1 &= \frac{D \lambda^2}{\lambda^2 - \lambda_0^2}, \\ D &= \frac{e^2 N}{m} \frac{\lambda_0^2}{4\pi^2 \epsilon_0^2}. \end{aligned} \right\} \quad (31)$$

Forma (31) prowadzi mianowicie do znanego i w dyspersji gazów często używanego wzoru interpolacyjnego

$$v^2 - 1 = a + \frac{b}{\lambda^2}. \quad (32)$$

Szczególnie pożytecznym w zestawieniu teorii z doświadczeniem okazał się związek (28), znany już dawno, bo wyprowadzony jeszcze w r. 1880 przez Lorenza<sup>1)</sup> i H. A. Lorentza<sup>2)</sup>, a stanowiący analogon do starego wzoru Clausiusa i Mossottiego, wiążącego stałą dielektryczną z gęstością ( $\rho$ ) izolatora. Wzór ten

$$\frac{\epsilon - 1}{\epsilon + 2} \frac{1}{\rho} = \text{const.} \quad (33)$$

przechodzi na związek Lorentza-Lorenza, jeśli złączymy go z ważnym dla  $n = 0$  równaniem Maxwella

$$\epsilon = v^2.$$

Otrzymamy bowiem wówczas

$$\frac{v^2 - 1}{v^2 + 2} \frac{1}{\rho} = \text{const.} \quad (34)$$

W ten sposób udowodniony wzór (34) stosować się może, co prawda tylko do fal nieskończenie długich; teoria elektronów pozwoliła nam jednak wyprowadzić go także i dla fal świetlnych o dowolnej częstotliwości  $n$ . Ponieważ współczynniki załamania są w gazach bardzo mało różne od 1, przeto można niekiedy (34) zastąpić także wzorem przybliżonym

<sup>1)</sup> L. Lorenz, Wied. Ann. **11**, str. 70 (1880).

<sup>2)</sup> H. A. Lorentz, Wied. Ann. **9**, str. 641 (1880).

$$\frac{v - 1}{\rho} = \text{const.} \quad (35)$$

**Zadanie doświadczenia.** Przystępując od strony teorii do zagadnienia o refrakcji i dyspersji światła w gazie, mamy więc do dyspozycji dwa związki pomiędzy jego współczynnikiem załamania dla pewnej długości fali a liczbą, ładunkiem i masą oraz częstotliwością drgania własnego elektronów, zawartych w jego atomach. Żadnej z tych wielkości nie odnajdziemy jednak w bezpośrednio doświadczeniu; pomostem, przez który poprowadzi nas ono za przewodnictwem teorii do poznania owych elementów atomu, będą cechy takie, jak ciśnienie, gęstość, temperatura oraz skład chemiczny substancji gazowej. Zadaniem więc eksperymentu jest znaleźć zależność empiryczną współczynnika załamania od tych, stan badanej substancji charakteryzujących, parametrów.

## ROZDZIAŁ II.

### Metody pomiarów współczynnika załamania.

**Metody z pryzmatem.** Pierwsze bezpośrednie pomiary współczynników załamania światła w gazach wykonali Arago i Biot<sup>1)</sup> przy pomocy pryzmatu, zbudowanego już wprzód w tym samym celu przez Bordę. Była to krótka a szeroka rura ścięta skośnie, zamknięta dwiema płytkami szklanymi, tworzącymi kąt łamiący  $\alpha = 143^\circ 7' 28''$  i połączona z manometrem, pompą oraz zbiornikiem badanego gazu. Oś lunety, ruchomej na kole, umieszczono na przedłużeniu osi pryzmatu i obserwowano obraz odległego przedmiotu. Doświadczenie składało się z trzech stadyów. Z początku wypełniano pryzmat suchym powietrzem pod ciśnieniem atmosfery i ustawiano lunetę tak, by obraz widzianego ostro przedmiotu przypadał na środek pola widzenia. Następnie obracano pryzmat o  $180^\circ$  około osi pionowej i notowano przesunięcia obrazu, pochodzące od niedoskonałej równoległości powierzchni płytek szklanych. W końcu usuwano z pryzmatu powietrze, obracano pryzmat znowu o  $180^\circ$  i ustawiano obraz ponownie na środku pola widzenia. Kąt ( $\varphi$ ), o jaki przesunąć należało w tym celu lunetę, mierzy podwójne odchylenie ( $\chi$ ) pryzmatu, sprawione przez pryzmatyczną warstwę gazu,

$$\chi = \frac{1}{2} \varphi.$$

<sup>1)</sup> Biot et Arago, Mém. de l'Ac. de Sc. str. 301 (1806).

W ten sposób zmierzone odchylenie  $\chi$  można uznać za najmniejsze, ponieważ kąty, jakie tworzy w tych warunkach promień świetlny z obiema ścianami pryzmatu, są równe. W takim zaś razie

$$v = \frac{\sin \frac{1}{2} (\alpha + \varphi)}{\sin \frac{1}{2} \alpha}$$

Słabą stroną powyższej metody była konieczność bezpośredniego pomiaru bardzo małego kąta odchylenia, wynoszącego niespełna 6'. Żeby bowiem zmierzyć współczynnik załamania z dokładnością  $\frac{1}{1000}$ , należałoby położenie obserwowanego obrazu wyznaczyć z dokładnością  $\frac{1}{3}$  sekundy łukowej.

Dulong<sup>1)</sup> ominął tę trudność w następujący sposób. Umieścił lunetę nieruchomo, a główny nacisk położył na dokładniej dające się wykonać pomiary ciśnienia.

Niechaj  $v_1$  i  $v_2$  oznaczają współczynnik załamania dwóch gazów, których ciśnienia są odpowiednio  $p_1$  i  $p_2$ . W myśl wypowiedzianego jeszcze przez Newtona prawa  $\frac{v^2 - 1}{\rho} = \text{const.}$ , będzie

$$\frac{v_1^2 - 1}{p_1} = \frac{v_2^2 - 1}{p_2}$$

Dulong wypełniał więc pryzmat zrazu suchym powietrzem atmosferycznym i ustawiał obraz znaczką w środku pola widzenia nieruchomej lunety. Następnie usuwał z pryzmatu powietrze, przepłukiwał cały przyrząd badanym gazem, wypróżniał go powtórnie i napełniał znowu dopóty, dopóki obraz znaczką nie znalazł się znowu na krzyżu w środku pola widzenia lunety. Wówczas zamykał przewód i odczytywał ciśnienie.

Jeśli gaz badany miał refrakcję mniejszą niż powietrze, postępował Dulong wręcz odwrotnie. Wypełniał pryzmat odrazu gazem badanym o znanej wartości ciśnienia, bliższym atmosferycznemu; ustawiał włos lunety na obrazie znaczką; wprowadzał następnie w miejsce gazu powietrze i rozrzedzał je znowu, aby sprowadzić obraz znaczką do położenia pierwotnego.

Dulong porównywał sprawność swej metody z wynikami pomiarów Arago i Biot'a i twierdził, że przy stosownym powiększeniu lunety może osiągnąć 10 razy większą dokładność, niż jego poprzednicy. Dążenie do tak znacznej dokładności uważał jednak za bezcelowe, ponieważ w większości przypadków nie można było podówczas upewnić się dostatecznie o czystości badanego gazu. Dokładność swoich liczb oceniał w przybliżeniu na  $\frac{1}{700}$  całkowitej wartości.

<sup>1)</sup> Dulong, Ann. de Chim. et Phys. 31, str. 154 (1826).

Metodę z pryzmatem udoskonalili dopiero znacznie Kayser i Runge<sup>1)</sup> przez zastosowanie fotografii.

Pomiędzy wklęsłą siatką Rowlanda a płytą fotograficzną umieścili mały pryzmacik o krawędzi łamiącej, skierowanej równolegle do szczelin siatki. Promienie odbite od siatki przejdą wówczas po części mimo pryzmatu, po części przez pryzmat; na płycie fotograficznej powstanie jeden nieodchylony, drugi odchylony obraz widma. Jeśli więc widmo składa się z ostrych linii, można ze znaczną dokładnością zmierzyć przesunięcie ( $v$ ), jakiego dozna skutkiem załamania w pryzmacie promieniowanie o częstotliwości zawartej między  $n$  i  $n + dn$ .

Aby obliczyć kąt, o jaki odchylone zostały przez pryzmat promienie, należące do przedziału widmowego  $d\lambda$ , należy oprócz przemieszczenia linii widmowej ( $v$ ) na kliszy zmierzyć także odległość płyty fotograficznej od punktu przecięcia kierunku promieni nieodchylonych z kierunkiem promieni załamanych. Punkt ten leży w warunkach doświadczeń Kaysera i Rungego w pobliżu środka pryzmatu; szukana odległość niechaj będzie  $a$ .

$$\frac{v}{a} = \varphi$$

będzie wówczas kątem odchylenia promieni  $d\lambda$ . Pryzmat winien być ustawiony tak, by płaszczyzna połowiąca kąt łamiący była równoległa do płyty. Odchylenia wszystkich promieni będą wówczas najmniejsze, a współczynniki załamania obliczymy, jak zwykle, z wartości kątów  $\varphi$  i kąta łamiącego pryzmatu.

Pryzmat zbudowany był z masywnego miedzianego bloku, w którym wywiercono otwór 2 cm. szeroki i 1 cm. wysoki. Otwór ten, połączony z pompą tłoczącą i manometrem rtęciowym, zamykano szczelnie okienkami z kwarcu, tworzącymi kąt około 60°. W masywnej części bloku, w zagłębieniu wypełnionem rtęcią, tkwił termometr, który wskazywał zatem temperaturę miedzianej bryły, zamykającej w swem wnętrzu drobną stosunkowo masę zgęszczonego gazu.

Do wartości współczynnika załamania gazu, zamkniętego w takim pryzmacie, prowadził szereg pomiarów kilku wielkości.

Należało zmierzyć: 1) odległość środka pryzmatu od płyty fotograficznej, 2) kąt łamiący pryzmatu, 3) temperaturę i ciśnienie zamkniętego w nim gazu, 4) przesunięcie linii widmowych na fotogramach widma liniowego.

Metoda powyższa dała autorom dla powietrza wyniki, których średnia dokładność dochodzi niemal do  $\frac{1}{2000}$  części szukanej wartości.

<sup>1)</sup> H. Kayser i C. Runge, Wied. Ann. 50, str. 293 (1893).

**Metody interferencyjne.** Najczęściej używane bywają do pomiaru współczynnika załamania gazów metody interferencyjne, polegające na następującej zasadzie. Wiązka jednorodnego światła rozdzielona na dwie części, zostaje następnie zebrana w płaszczyźnie ogniskowej lunety i tworzy w polu widzenia obraz interferencyjny. Charakter tego obrazu zależy od różnicy dróg obu interferujących części wiązki. Natężenia sumują się, gdy różnica ta jest wielokrotnością długości fali ( $\lambda$ ); znoszą się, gdy jej wartość jest wielokrotnością  $\lambda/2$ . W płaszczyźnie ogniskowej lunety wystąpią zatem w świetle jednorodnym jasne i ciemne prążki, które przesuwają się muszą przez pole widzenia, jeżeli droga optyczna jednego z interferujących promieni zmienia się w sposób ciągły. Obie więc rozdzielone wiązki promieni przeprowadza się przez dwie rury równej długości, zamknięte szczelnie płytkami przezroczystymi i dokładnie płasko-równoległymi. Rury połączone są z pompą, manometrem i zbiornikiem gazu. Przez zmianę ciśnienia gazu w jednej z rur wytwarzamy różnicę dróg optycznych, która powoduje przesunięcie układu prążków.

Z liczby prążków, które przeszły przez włos lunety pod wpływem znanej różnicy ciśnienia, oblicza się  $\nu$ . Obliczenie to opiera się na równaniu

$$\frac{\nu - 1}{\rho} = \text{const}, \quad (1)$$

w którym  $\nu$  oznacza, jak dotąd, współczynnik załamania,  $\rho$  gęstość gazu. W odniesieniu do stanu normalnego ( $0^\circ$ , 760 m/m Hg.) mamy więc

$$\frac{\nu_0 - 1}{\rho_0} = \frac{\nu - 1}{\rho} = \text{const}. \quad (2)$$

a stąd

$$\nu_0 - 1 = \frac{\nu - 1}{\rho} \cdot \rho_0 \quad (3)$$

albo

$$\nu_0 - 1 = \frac{(\nu - 1) 760 (1 + \alpha t)}{p}, \quad (4)$$

gdzie  $p$  oznacza ciśnienie, mierzone w m/m Hg.,  $\alpha$  współczynnik rozszerzalności,  $t$  temperaturę gazu.

Różnica dróg optycznych, wywołana przez zmianę ciśnienia gazu w jednej z rur o długości  $L$  cm, wynosi

$$\Delta = L(\nu - 1). \quad (5)$$

Mierzona długością fali świetlnej w próżni

$$\Delta = N\lambda. \quad (6)$$

Równanie (4) przyjmie zatem postać

$$\nu_0 - 1 = \frac{N\lambda}{Lp} 760 \cdot (1 + \alpha t). \quad (7)$$

Zmierzymy współczynnik załamania gazu w stanie normalnym z tym większą dokładnością, im staranniej policzymy pewną dość znaczną liczbę prążków ( $N$ ), która przesunie się przez włos lunety pod wpływem znanej różnicy ciśnienia ( $p$ ), oraz im lepiej zdołamy ustrzedz się od drobnych zmian temperatury gazu ( $t$ ) podczas trwania pomiarów. Drobne te zwykłe zmiany, względnie różnice temperatury w poszczególnych częściach przyrządu powodują systematyczne przesunięcia obserwowanego obrazu i stanowią najpoważniejsze źródło błędów. Prążki policzyć należy z dokładnością przynajmniej jednej dziesiątej ich szerokości, odpowiednią zmianę ciśnienia zmierzyć się powinno z dokładnością  $1/10$  m/m rtęci.

Przy zachowaniu tych środków ostrożności wartość znalezionej współczynnika zależeć będzie przedewszystkiem od czystości badanego gazu.

Przytoczoną wyżej zasadę metody interferencyjnej urzeczywistnić można rozmaitymi sposobami. Ramsay i Travers<sup>1)</sup> zastosowali prążki Younga, które powstają przez uginanie się promieni, przechodzących przez dwie szczeliny równej szerokości. Jamin<sup>2)</sup> użył prążków Brewstera, powstających przez odbicie od tylnych posrebrzonych ścian dwu dość grubych płasko-równoległych płytek przezroczystych ze szkła, kwarcu lub soli kamiennnej. Mascart<sup>3)</sup> podzielił obie wiązki przy pomocy szklanej kątówki Fizeau'a i zebrał je w ten sam sposób w jedną, obserwował przez spektroskop widmo, w którym wytworzono ostre prążki Talbota. Można także użyć interferometru Michelsona o dostatecznie długich ramionach i wytworzyć prążki równej grubości albo równego nachylenia. Wszystkie te przyrządy mają tę zaletę, że pozwalają użyć rur długich, zwiększyć drogę optyczną interferujących promieni, a zatem i dokładniej wyznaczyć różnicę  $\Delta$ . Zwykle używa się rur o długości bliskiej 1 m.; pracując przyrządem Michelsona, można posługiwać się rurami krótszemi, ponieważ promienie interferujące przechodzą przez każdą z nich dwukrotnie.

Odrębną kategorię metod interferencyjnych stanowią te, które polegają na użyciu dilatometru Fizeau'a lub interferometru Perota i Fabry'ego. Benoit<sup>4)</sup> i Scheel<sup>5)</sup> zastosowali do pomiarów refrakcji w gazach dilato-

<sup>1)</sup> Ramsay i Travers, Proc. Roy. Soc. **62**, str. 228 (1898), **64**, str. 190 (1899).

<sup>2)</sup> Jamin, Ann. Chim. et Phys. **59**, str. 282 (1860).

<sup>3)</sup> Mascart, Ann. Ec. Norm. Sup. **6** (1877).

<sup>4)</sup> R. Benoit, Journ. de Phys. **8**, str. 451 (1889).

<sup>5)</sup> K. Scheel, Verh. d. D. ph. Ges. **9**, str. 24 (1907).

metr zamknięty w uszczelnionem naczyniu, które można wypróżnić i napełniać gazem o dowolnem ciśnieniu i dowolnej temperaturze. Pomiar optyczny sprowadza się wtedy do dokładnego policzenia prążków Ne w tona, które się zwykle obserwuje w dilatometrach.

Jeśli wypróżniwszy starannie naczynie, stwierdzimy, że pomiędzy dwoma punktami w polu widzenia mieści się  $N_1$  prążków, po napełnieniu zaś naczynia badanym gazem, naliczymy na tej samej odległości  $N_2$  prążków, wytworzonych przez światło jednorodne o długości fali  $\lambda$ , wówczas ze związku

$$N_2 - N_1 = \frac{2e}{\lambda} (\nu - 1),$$

w którym  $e$  oznacza grubość warstewki gazu, obliczyć możemy  $\nu$ . W stosownych warunkach można różnicę  $N_2 - N_1$  wyznaczyć z dokładnością  $1/100$  prążka. Dzięki drobnym stosunkowo rozmiarom przyrządu, łatwo jest utrzymać gaz w stałej temperaturze, którą można wyznaczyć również ze znaczną dokładnością. Dlatego urządzenie to nadaje się przedewszystkiem do badań nad zależnością współczynnika załamania od temperatury. Scheel posługiwał się niem także przy pomiarach dyspersyi. W tym razie wybór metody był, zdaje się, mniej szczęśliwy z powodu, że długość warstwy gazu, przez którą przechodziło światło, wynosiła zaledwie 2,92 cm. Przy zmianie zatem ciśnienia od 0 do 1 atmosfery mógł Scheel w świetle czerwonym naliczyć nie więcej jak 12 prążków.

Te same zalety lecz także i te same wady posiada metoda, polegająca na zastosowaniu interferometru Perota-Fabry'ego. Interferometr zamyka się w puszcze uszczelnionej i połączonej z manometrem, zbiornikiem i pompą. Przez lunetę, nastawioną na nieskończoność, obserwuje się ostre prążki równego nachylenia, wytworzone przez wielokrotne odbicia promieni jednorodnych od równoległych płyt interferometru. Znając odległość płyt i liczbę prążków, które przesunęły się wskutek zmiany ciśnienia gazu, oblicza się z łatwością współczynnik załamania. Rentschler<sup>1)</sup> połączył interferometr z siatką Rowlanda i dostrzegał albo fotografował prążki, występujące równocześnie w różnych częściach widma. Przebieg krzywych dyspersyi, wykreślonych według liczb Rentschlera, różni się jednak dość znacznie od tego, co podają inni współcześni mu badacze. Być może, iż przyczyny niedokładności w pomiarach Rentschlera szukać należy również w tem, że odległość płyt interferometru wynosiła zaledwie 0,78 cm. Przy zmianie ciśnienia od 0 do 1 atmosfery mógł Rentschler naliczyć nie więcej jak 8 prążków. Metoda powyższa, nie bardzo stosowna do pomiarów dyspersyi, może natomiast

<sup>1)</sup> H. C. Rentschler, *Astroph. Journ.* **28**, str. 345 (1908).

oddać dobre usługi w badaniach nad zależnością współczynnika załamania od ciśnienia i temperatury.

**Metoda prążków poziomych w widmie ciągłym.** Do badania dyspersyi współczynnika załamania, zwłaszcza w częściach widma, w których współczynnik szybko rośnie lub maleje, a więc w pobliżu ograniczonych i wąskich dziedzin absorbcyi, nadaje się szczególnie dobrze metoda, podana przez Pucciantiego<sup>1)</sup>. Światło białe, przechodzące przez refraktometr dowolnej konstrukcyi, zbiera się soczewką na pionowej szczelinie spektroskopu. W polu widzenia lunety ukazuje się wówczas widmo ciągłe, poprzecinane prążkami interferencyjnymi. Przy stosownem ustawieniu zwierciadeł refraktometru można prążkom tym nadać kierunek poziomy. Jeśli na drodze jednego z promieni interferujących umieścimy gaz, absorbujący światło w pewnej dziedzinie widma, wówczas w pobliżu smugi absorbcyjnej prążek interferencyjny zmienia rapidly kierunek i daje wierny obraz przebiegu współczynnika załamania. Przy pomocy tej metody zdołali Ladenburg i Loria<sup>2)</sup> stwierdzić i zmierzyć bardzo słabą dyspersyę anormalną w pobliżu linii  $H_2$  i  $H_3$  w wodorze, świecącym pod wpływem prądu elektrycznego. Tą samą metodą posługiwali się Koch i Friedrich<sup>3)</sup> celem wykazania drobnych anomalij w pobliżu prążków absorbcyjnych w świecącej parze rtęci. Loria<sup>4)</sup> oraz Roschdestwenski<sup>5)</sup> zastosowali tę metodę do badania dyspersyi w nieświecącej parze sodu. J. Koch<sup>6)</sup> użył jej do pomiarów dyspersyi w ultrafioletowej części widma.

**Metoda badania dyspersyi fal podczerwonych.** Na ogólną wzmiankę zastrzegają niezmiernie trudne i jedyne dotychczas pomiary współczynników załamania światła w gazach w dziedzinie fal długich, wykonane przez J. Kocha<sup>7)</sup>. Koch zastąpił płyty zwykłego Jaminowskiego refraktometru płytami z soli kamiennej, a rury zamknął okienkami z tego samego materiału. Z lampy Nernsta, której promienie odbijały się wiązką równoległą od zwierciadła srebrnego, wydzielał przy pomocy zwierciadeł z gipsu i szpatu wapiennego fale o długości 67 094 lub 86 784 Å, przepuszczał je przez trzy otwory do obu rur i zbierał soczewką z soli kamiennej na spojeniu termoelementu z żelaza

<sup>1)</sup> L. Puccianti, *Mem. Spett. Ital.* **33**, str. 133 (1904).

<sup>2)</sup> Ladenburg i Loria, *Wiad. mat.* **T. 13** (1909)

<sup>3)</sup> P. P. Koch u W. Friedrich, *Ph. Z.* **12**, str. 1193 (1911).

<sup>4)</sup> S. Loria, *Bull. Acad. Cracovie*, Juin 1909; *R. A. U.*

<sup>5)</sup> D. Roschdestwenskiy, *Ann. d. Phys.* **39**, str. 307 (1912).

<sup>6)</sup> J. Koch, *Arkiv f. Mat. Astr. och Fysik* **8** (20), str. 1 (1912).

<sup>7)</sup> J. Koch, *Ann. d. Phys.* **17**, str. 658 (1905) *Nova Acta Reg. Soc. Ups. Ser. 4*, Vol. 2 (5), str. 32 (1909).

i konstantanu. Pod wpływem wymierzalnej różnicy ciśnienia w jednej z rur, prążki wędrowały przed termoelementem, a obserwator dowiadywał się o ich liczbie z ruchów zwierciadła galwanometru, wahającego się w takt zmian natężenia światła.

### ROZDZIAŁ III.

#### Zależność współczynnika załamania od ciśnienia.

Badania, dotyczące zależności prędkości światła w gazie od ciśnienia, obejmują zakres ciśnień od  $1/20$  do 200 atmosfer. Stosunkowo nie wielka jednak liczba obserwacji odnosi się do ciśnień niższych niż 1 atmosfera i wyższych niż 20 atmosfer.

W przedziale od 20 mm. do 760 mm. rtęci wykonywał Kaiser<sup>1)</sup> przy pomocy refraktometru Jamin'a pomiary w powietrzu, wodorze, bezwodniku węglowym i dwutlenku siarki.

Na podstawie porównania wykresów zależności  $\frac{\partial v}{\partial p}$  od  $p$  z wykresami, odnoszącymi się do analogicznej zależności  $\frac{\partial \rho}{\partial p}$  od  $p$ <sup>2)</sup>, stwierdził Kaiser, że w  $CO_2$  i  $SO_2$   $\frac{\partial v}{\partial p}$  rośnie ze wzrostem ciśnienia silniej niż  $\frac{\partial \rho}{\partial p}$ . Wyniki tych pomiarów nie są jednak dość pewne, by mogły posłużyć za podstawę twierdzenia, że w zakresie tak małych ciśnień  $\frac{\partial v}{\partial p}$  jest nie liniową funkcją ciśnienia gazu.

Kwestya zależności współczynnika załamania w gazach od ciśnienia w zakresie małych i bardzo małych ciśnień jest więc i po dziś dzień zagadnieniem otwartym.

Nierównie liczniejsze są obserwacje, odnoszące się do ciśnień wyższych niż 1 atmosfera. Mascart<sup>3)</sup> zmierzył refrakcję powietrza, azotu, tlenu, wodoru, tlenku węgla, dwutlenku węgla, tlenku azotu, bezwodnika podazotawego i cyanu w przedziale ciśnień od 1 aż do 8 atmosfer. Stwierdził, że zależność współczynnika załamania od ciśnienia można na tym obszarze wyrazić związkiem

$$v - 1 = \alpha p (1 + \beta p), \quad (1)$$

<sup>1)</sup> W Kaiser, Ann. d. Phys. **13**, str. 210 (1904).

<sup>2)</sup> Według pomiarów F. Fuchsa i Regnaulta.

<sup>3)</sup> E. Mascart, l. c.

w którym  $\alpha$  i  $\beta$  są współczynnikami stałymi. Jeśli zależność gęstości od ciśnienia wyrazimy analogicznym równaniem

$$\rho = \alpha' p (1 + \beta' p), \quad (2)$$

okaże się, że  $\beta$  i  $\beta'$  są wielkościami tego samego rzędu i zmieniają się w tym samym kierunku. Nie wykraczając więc poza granice błędów obserwacji, można, zdaniem Mascarta, uznać refrakcję gazu za proporcjonalną do gęstości

$$\frac{v - 1}{\rho} = \text{const.} \quad (3)$$

Do wyższych jeszcze ciśnień, mianowicie do 20 atmosfer, sięgają pomiary Chappuis i Rivière'a<sup>1)</sup>, którzy zmierzili refrakcję powietrza i bezwodnika węglowego. Wyniki tych pomiarów (które obejmują także cyan w przedziale od 1 do 3 atmosfer) streścili w twierdzeniu, że w żadnym z badanych gazów nie można dopatrzeć się odchylenia od reguły empirycznej, wyrażonej równością (3). Sądziłi nawet, że liczby przez nich zebrane stanowią przekonujący argument przeciwko formule teoretycznej, wyprowadzonej przez L. Lorenza i H. A. Lorentza i wyrażonej związkiem, znanym z rozdziału I:

$$\frac{v^2 - 1}{\rho^2 + 2} \frac{1}{\rho} = \text{const.} \quad (4)$$

Twierdzenie powyższe nie wytrzymuje krytyki. Autorowie nie wyznaczyli bowiem współczynnika  $\beta$  [por. równ. (1)] na podstawie własnych pomiarów, lecz wyliczyli go przy pomocy równania van der Waalsa ze związku, (2) w przypuszczeniu, że  $\beta = \beta'$ . Ponieważ jednak — jak wykazał Perreau<sup>2)</sup> — użyte przez autorów równanie van der Waalsa nie zgadza się z doświadczeniami Regnaulta, przeto i obliczone przez nich gęstości

$$\rho = \alpha p (1 + \beta p)$$

nie odpowiadają ściśle rzeczywistemu przebiegowi  $\rho = f(p)$ .

W tym samym zakresie ciśnień od 4 do 19 atmosfer badał refrakcję powietrza Gale<sup>3)</sup> i stwierdził, że odchylenie od reguły (3), jeśliby wogóle istniało, nie mogłoby wynosić więcej niż 0,1%. Odnosnie do wzoru (4) sądził, że ponieważ stosunek jej do (3) wynosi dla gazów około  $3/2$ , przeto bezowocne byłoby usiłowanie rozstrzygnięcia, które z nich lepiej odpowiada doświad-

<sup>1)</sup> I. Chappuis et Ch. Rivière, Ann. de Chim. et de Phys. **14**, str. 1 (1888).

<sup>2)</sup> F. Perreau, Ann. de Chim. et de Phys. S. VII, 7, str. 298 (1896).

<sup>3)</sup> H. G. Gale, Phys. Rev. **14**, str. 1 (1902).

czeniu. Carnazzi<sup>1)</sup> zbadał zależność refrakcji od ciśnienia, dochodzącego do 40 atmosfer. Posługiwał się metodą pryzmatyczną; ścisnął gaz w pryzmacie o poziomej krawędzi łamiącej i patrzył przezeń na skalę pionową. Zdaniem jego regułę (3) uważać należy za przybliżoną. Odchylenia stają się tem wyraźniejsze, im większa jest gęstość gazu. W powietrzu i wodorze roślinie wyrażenie  $\frac{\nu-1}{\rho}$  wraz z ciśnieniem, w bezwodniku węglowym natomiast maleje ze wzrostem ciśnienia.

W bardzo szerokim zakresie zmienności od 1 do 200 atmosfer zmierzył Magri<sup>2)</sup> zależność współczynnika załamania w powietrzu od gęstości i porównał pomiędzy sobą wszystkie proponowane dotychczas wzory:

$$\frac{\nu^2-1}{\rho} = \text{const.}^{3)}, \quad \frac{\nu-1}{\rho} = \text{const.}, \quad \frac{\nu^2-1}{\nu^2+2} \frac{1}{\rho} = \text{const.}$$

Wyniki tych pomiarów, które obejmują zarówno  $\nu$  jak i  $\rho$  w całym zakresie badanych ciśnień, zawiera (w skróceniu) następująca tablica:

Temperatura	Gęstość	$(\nu-1) \cdot 10^6$	$\frac{2}{3} \frac{\nu-1}{\rho} \cdot 10^7$	$\frac{\nu^2-1}{\nu^2+2} \frac{1}{\rho} \cdot 10^7$
0°	1	292,9	1953	1953
14,6	14,84	433,8	1949	1947
14,3	42,13	1241,0	1964	1959
14,4	69,24	2044,0	1968	1961
14,5	96,16	2842,0	1970	1961
14,5	123,04	3633,0	1969	1956
14,8	149,53	4421,0	1971	1956
14,9	176,27	5213,0	1972	1953

Na podstawie doświadczeń Magri'ego stwierdzić tylko można, że wzrost współczynnika załamania w powietrzu ścisnianem jest szybszy, niżby tego wymagały wzory Laplace'a i Newtona. Stosunkowo najlepiej zdaje się odpowiadać rzeczywistości związek Lorenza-Lorentza. Do tego samego wniosku skłaniają też dawne doświadczenia L. Lorenza<sup>4)</sup> i K. Prytza<sup>5)</sup>, wykonane nad całym szeregiem ciał w stanie pary i cieczy. Dla ilustracji zebrałem kilka z nich w następującej tablicy.

<sup>1)</sup> Carnazzi, II Nuovo Cim. (4), 6, str. 385 (1897).

<sup>2)</sup> L. Magri, Ph. Z. 6, str. 629 (1905).

<sup>3)</sup> Laplace, Mécanique Céleste 4, livre 10, str. 237 (1805).

<sup>4)</sup> L. Lorenz, Wied. Ann. 11, str. 89 (1880).

<sup>5)</sup> K. Prytz, tamże str. 104.

	$\frac{\nu^2-1}{\nu^2+2} \frac{1}{\rho}$		$\frac{\nu-1}{\rho}$	
	ciecz	para	ciecz	para
Woda . . . . .	0,2061	0,2068	0,3246	0,3102
Dwusiarczek węgla . . . . .	0,2805	0,2898	0,4645	0,4347
Alkohol etylowy . . . . .	0,2804	0,2825	0,4438	0,4238
Eter etylowy . . . . .	0,3026	0,3068	0,4800	0,4602
Chloroform . . . . .	0,1790	0,1796	0,3000	0,2694

Wskazywałyby one, że nawet przy tak znacznych zmianach gęstości, jakie towarzyszą zmianom stanu skupienia, reguła wyrażona równością (4) pozostaje w przybliżeniu prawdziwa.

Istniejące jeszcze odstępstwa znajdują dostateczne wytłómaczenie w tem, że równość (4) ma, już i z punktu widzenia teorii, wartość reguły przybliżonej. Nie należy bowiem zapominać, iż opiera się ona na równaniu (28) [Rozdział I]. Równanie to wyprowadzone zaś zostało w przypuszczeniu, że istnieje jeden tylko gatunek elektronów i opiera się na nieudowodnionem twierdzeniu, że w gazach

$$s = 0 \quad [\text{równ. (26) Rozdziału I}].$$

Nie może jednak ulegać wątpliwości, iż zachowanie się gazów rzeczywistych będzie w ogóle różne od zachowania się owej idealnej monoelektronowej substancji. Ponadto wiemy także, że wielkość  $s$  zależy również od gęstości oraz od  $n_0$ . Czy i jak zgęszczenie gazu wpływa na  $n_0$ , tego nie wiemy. Doświadczenia nad zależnością położenia linii widmowych od ciśnienia nie dają jeszcze dość określonych i jednoznacznych wyników.

## ROZDZIAŁ VI.

### Zależność współczynnika załamania od temperatury.

Omawiana w rozdziale poprzednim reguła (4), albo w przybliżeniu równoważny jej wzór:

$$\frac{2}{3} (\nu-1) \frac{1}{\rho} = \text{const.}$$

czyni współczynnik załamania zależnym pośrednio i od temperatury, albowiem  $\rho$  jest funkcją temperatury  $t$ . To znaczy, że, jeśli przez  $p$  oznaczymy ciśnienie, przez  $t$  temperaturę, przez  $\alpha$  współczynnik rozszerzalności gazu doskonałego, obowiązować winna równość:

$$\frac{\nu - 1}{p} (1 + \alpha t) = \frac{\nu_0 - 1}{p_0} (1 + \alpha t_0). \quad (1)$$

Dopóki przeto  $p = \text{const.}$ ,  $\nu - 1$  będzie proporcjonalne do  $\frac{1}{1 + \alpha t}$ .

Materyał doświadczalny, dotyczący tej zależności, jest już wprawdzie dość obfity, lecz bynajmniej nie wyczerpujący.

Biot i Arago<sup>1)</sup> wykonywali pomiary refrakcji w temperaturach od  $-1,3^\circ$  do  $12^\circ$  C. Biot<sup>2)</sup> powtarzał je następnie w temperaturze bliższej  $+25^\circ$  C. i doszedł do wniosku, że zależność  $\nu(t)$  wyrazi się istotnie związkiem

$$\nu = \nu_0 - \alpha t, \quad (2)$$

w którym ( $\nu_0$ ) oznacza współczynnik załamania w temperaturze  $t=0$ , zaś ( $\alpha$ ) stałą i od temperatury niezależną wielkość. Z liczb podanych przez wyżej wymienionych autorów wyliczył natomiast Lang<sup>3)</sup>, że forma (2) nie oddaje ściśle przebiegu funkcji  $\nu(t)$  i twierdził, iż należy ją zastąpić wyrażeniem

$$\nu = \nu_0 - \alpha' t + b t^2. \quad (3)$$

Na podstawie własnych pomiarów, wykonanych z powietrzem o temperaturze zmiennej od  $0^\circ$  do  $100^\circ$ , zaproponował więc dla stałych  $\alpha'$  i  $b$  wartości liczbowe następujące:

$$\alpha' = 9,05 \cdot 10^{-7}$$

$$b = 0,2 \cdot 10^{-7}$$

Pomiary Mascarta doprowadziły również do wniosku, że zależność współczynnika załamania od temperatury jest wogóle zawilsza, niżby wynikało ze związku (1). Stwierdził mianowicie, że w zakresie temperatur od  $+5$  do  $45^\circ$  C. nie można zdać sprawy z przebiegu funkcji  $\nu(t)$ , jeśli się użyje wzoru

$$(\nu - 1) (1 + \alpha t) = \text{const.},$$

w którym na  $\alpha$  przyjęto znany skądinąd współczynnik rozszerzalności gazu. Trzebaby raczej przypuścić, że współczynnik temperaturowy refrakcji ( $\alpha^*$ ) jest różny od ( $\alpha$ ). Znalezione przez Mascarta wartości ( $\alpha^*$ ) znajdują się w następującej tablicy:

<sup>1)</sup> Biot i Arago, Mém. de l'Ac. des Sc. 7, str. 301 (1806)

<sup>2)</sup> Biot, ibidem 8, str. 39 (1808).

<sup>3)</sup> v. Lang, Wien. Ber. 49 II (1874).

Gaz	$\alpha$	$\alpha^*$	$\alpha^* - \alpha$
Powietrze . . . . .	0,00367	0,00382	0,00015
N . . . . .	,00367	,00382	,00015
H . . . . .	,00366	,00378	,00012
CO . . . . .	,00367	,00367	—
CO <sub>2</sub> . . . . .	,00371	,00406	,00035
NO . . . . .	,00371	,00388	,00017.

Współczynnik temperaturowy refrakcji jest więc według Mascarta prawie zawsze większy, niż współczynnik rozszerzalności gazów. Wszelako wynik ten jest sprzeczny z doświadczeniami Lang'a, z których otrzymuje się wartości  $\alpha^* < \alpha$ . Wspomnieć również należy, że Benoit<sup>1)</sup>, który badał przebieg funkcji  $\nu(t)$  dla powietrza w zakresie temperatur od 0 do  $80^\circ$  C., otrzymywał zawsze  $\alpha^* = \alpha$ . Taki sam wniosek wyprowadziłyby należało z pomiarów Lorenza<sup>2)</sup>. Rewizji tych sprzecznych wyników dawniejszych doświadczeń podjął się Walker<sup>3)</sup>.

Pomiary refrakcji światła sodowego, wykonane ze znaczną starannością w zakresie temperatur  $0^\circ$  do  $100^\circ$  C., obejmują: powietrze, H, NH<sub>3</sub>, CO<sub>2</sub> i SO<sub>2</sub>. Wyniki, streszczone w zamieszczonej poniżej tablicy, okazują, że w powietrzu i wodorze  $\alpha^* < \alpha$ , w CO<sub>2</sub> i SO<sub>2</sub> natomiast  $\alpha^* > \alpha$

Gaz	$\alpha$	$\alpha^*$	$\alpha - \alpha^*$
Powietrze . . . . .	0,00367	0 00360	+ 0,00007
		$\pm 3$	
H . . . . .	,00366	,00350	+ ,00016
		$\pm 3$	
CO <sub>2</sub> . . . . .	,00371	,00380	— ,00009
		$\pm 3$	
NH <sub>3</sub> . . . . .	, —	,00390	—
		$\pm 3$	
SO <sub>2</sub> . . . . .	,00390	,00416	— ,00026
		$\pm 2$	

Wyniki doświadczeń Walkera są sprzeczne z tem, co podawał Mascart. Sprzeczności tej Walker wytłómaczyć nie może. Zwraca uwagę na pewne dość prawdopodobne źródła błędów w pomiarach swego poprzednika, ostatecznie jednak musi uznać zagadnienie za nierozwiązane.

<sup>1)</sup> Benoit, Journ. de Phys. 8, str. 451 (1889).

<sup>2)</sup> Lorenz l. c.

<sup>3)</sup> G. W. Walker, Phil. Trans. Roy. Soc. 201, str. 435 (1903).

Pierwszą i po dziś dzień jedyną próbą pomiaru refrakcji w szerszym zakresie temperatur niskich były doświadczenia Scheela<sup>1)</sup>. Przy pomocy dilatometru Fizeau'a z pierścieniem kwarcowym mierzył Scheel współczynnik załamania w powietrzu i azocie w temperaturze pokojowej oraz w temperaturze ciekłego powietrza. Jeśli przypuścimy, że wyrażenie  $(\nu - 1) \frac{1}{\rho}$  pozostaje stałe aż do  $-190^\circ \text{C}$ ., a gęstość normalną uznamy za 1, wówczas możemy z równania

$$\frac{\nu_{t,p} - 1}{\nu_{0,760} - 1} = \rho_{t,p} \quad (5)$$

obliczyć gęstość. Otrzymaną w ten sposób wartość  $\rho_{p,t}$  możemy znowu porównać z wynikami bezpośrednich pomiarów. Scheel obliczył gęstość  $\rho^*$  wodoru i azotu przy pomocy danych liczbowych Traversa i Sentera<sup>2)</sup> oraz Bestelmeyera i Valentiner<sup>3)</sup>.

Gaz	Temperatura w $^\circ\text{C}$ .	$\rho^*$	$\rho$	$\rho^* - \rho$ %
H	- 192,35	3,388	3,400	- 0,37
	- 188,25	3,221	3,235	- 0,43
N	- 189,91	3,419	3,432	- 0,41
	- 191,76	3,543	3,556	- 0,37.

Jak widać wartości  $\rho^* < \rho$ . Różnica wynosi 4 promille. Czy wolno ją sprowadzić do błędów doświadczenia, czy też wskazuje ona, być może, odchylenie od reguły

$$\frac{\nu - 1}{\rho} = \text{const.},$$

— tego autor rozstrzygnąć nie zdołał.

Streszczając wyniki dotychczasowe badań nad zależnością refrakcji w gazach od temperatury, nie możemy dać jasnej i jednoznacznej odpowiedzi na pytanie, czy współczynnik załamania zmienia się pod wpływem temperatury tylko pośrednio skutkiem zmian gęstości, czy też jest ponadto i bezpośrednio od temperatury zależny. Nie ulega wątpliwości, że taki bezpośredni wpływ istnieć może przede wszystkim dzięki modyfikacyom, które przez wzrost temperatury powstaną w ustroju cząsteczki. Objawić by się one mogły w zmia-

<sup>1)</sup> K. Scheel, Verh. d. D. phys. Ges. 9, str. 24 (1907).

<sup>2)</sup> M. W. Travers i G. Senter, Rep. Brit. Assoc. Glasgow, str. 546 (1901).

<sup>3)</sup> A. Bestelmeyer i S. Valentiner, Ann. d. Phys. 15, str. 61 (1904).

nach częstości drgania własnego<sup>1)</sup> a więc i w wielkości  $s$ , nie uwzględnionej w podstawach rozumowania, które wiedzie do związku (1).

Być może, że o niewątpliwie subtelnych, a zupełnie dziś jeszcze nieznanych zależnościach, ukrywających się na dnie tego zagadnienia, mogłyby powiedzieć coś więcej badania nad stałą dielektryczną gazów w różnych temperaturach. Nie bez związku z następującymi się tu pytaniami są niewątpliwie trudności, na jakie napotkano w usiłowaniu wywołania emisji gazów przez ogrzanie.

## ROZDZIAŁ V.

### Zależność współczynnika załamania od długości fali (dyspersja).

Materiał liczbowy, dotyczący dyspersji współczynnika załamania światła w gazach, był do niedawna jeszcze bardzo skąpy. W ostatnich dopiero kilku latach mnożą się obserwacje, podejmowane przez wielu niezależnie od siebie i rozmaitemi metodami pracujących badaczy. Niestety pomiary te różnią się jeszcze stosunkowo znacznie pod względem stopnia dokładności; przede wszystkim zaś czystość substancji badanych nie jest częstokroć dostatecznie zagwarantowana. Z tego powodu krytyczne uporządkowanie dat liczbowych nastęca dziś jeszcze poważne trudności. Nie mniej chaotycznie przedstawia się sprawa wzorów dyspersyjnych, używanych przez rozmaitych autorów do przedstawienia wyników doświadczenia. Z punktu widzenia teorii należałoby zawsze przede wszystkim zapytać, czy badany gaz nie różni się pod względem własności optycznych od idealnej mono-elektronowej substancji, czy też przebieg dyspersji zniewala do przypuszczenia, że w atomach jego są czynne elektrony dyspersyjne różnych kategorii, o różnych częstościach drgania własnego?

W pierwszym przypadku wystarczy do przedstawienia dyspersji (w obszarach dalekich od dziedzin absorbcyj) wzór (29) [Rozdział I], któremu można nadać postać (przybliżoną)

$$\left. \begin{aligned} \nu - 1 &= \frac{C}{n_0^2 - n^2}, \quad \text{gdzie} \quad n = \frac{1}{T}, \\ C &= \frac{1}{2\pi} \frac{e^2 N}{m}. \end{aligned} \right\} \quad (1)$$

Przebieg dyspersji wyrazić można wówczas także wzorem:

<sup>1)</sup> I. Königsberger, Ann. d. Phys. 4, str. 796 (1901).



$$\left. \begin{aligned} \frac{3}{2} \frac{v^2+2}{v^2-1} &= A - \frac{B}{\lambda^2}, \\ B &= 2\pi e_0^2 \frac{m}{e^2 N}, \\ A &= \frac{B}{\lambda_0^2}, \end{aligned} \right\} \quad (2)$$

albo

$$\left. \begin{aligned} \frac{v^2+2}{v^2-1} &= \Delta \left( \frac{1}{\lambda_0^2} - \frac{1}{\lambda^2} \right), \\ \Delta &= 3\pi e_0^2 \frac{m}{e^2 N}, \end{aligned} \right\} \quad (3)$$

albo wreszcie najczęściej używanym wzorem przybliżonym, mającym raczej znaczenie wzoru interpolacyjnego (Cauchy),

$$v - 1 = a \left( 1 + \frac{b}{\lambda^2} \right). \quad (4)$$

W niektórych przypadkach wzory powyższe okazują się niedostateczne do opisu dyspersji gazu. Wówczas wystarczy zastąpić równość (29) związkiem analogicznym, uogólnionym dla substancji o dwu gatunkach elektronów dyspersyjnych:

$$\frac{v^2-1}{v^2+2} = \frac{4\pi e_1^2 N_1}{3m_1} \frac{1}{n_{01}^2 - n^2} + \frac{4\pi e_2^2 N_2}{3m_2} \frac{1}{n_{02}^2 - n^2}. \quad (5)$$

Zamiast tego związku używano dawniej wzoru trójwyrazowego

$$v - 1 = a + \frac{b}{\lambda^2} + \frac{c}{\lambda^4}, \quad (6)$$

który ma jednak charakter empiryczny i nie nadaje się do interpretacji teoretycznej.

W przeglądzie materiału liczbowego, którym rozporządzać dziś może teoria dyspersji, postępować będziemy według porządku następującego. Przedewszystkiem zbierzemy dane doświadczalne, dotyczące pierwiastków gazowych takich, jak wodór, tlen, azot, hel, argon, krypton, xenon. Przypuścimy, że gazy te stosują się z dostatecznym przybliżeniem do praw Boyle'a i Gay-Lussaca i podamy wartości  $v$  w odniesieniu do stanu normalnego (0°, 760 mm.). Następnie zwrócimy się do nielicznych pierwiastków, które zostały wprawdzie zbadane optycznie w stanie gazu lub pary, lecz któ-

rych termodynamiczne własności są albo niedostatecznie znane, albo tak dalekie od własności gazów doskonałych, że redukcja do stanu normalnego ma wartość iluzoryczną. Do tych należą: chlor, brom, jod, siarka, rtęć, kadm, cynk, arsen i tellur. Danym liczbowym, odnoszącym się do tych pierwiastków, przyznać musimy z góry wartość orientacyjną tylko i prowizoryczną; trudności doświadczenia, spowodowane po części wysoką temperaturą wrzenia po części zabarwieniem (absorbującą selekcyjną) tych ciał, są tak poważne, że przy pomocy dzisiejszych metod pomiaru poznajemy, ściśle biorąc, tylko rząd wielkości ich współczynników załamania. Do trzeciej grupy zaliczymy najprostsze związki gazowe, takie jak H<sub>2</sub>O; N<sub>2</sub>O; NO; NH<sub>3</sub> oraz O<sub>3</sub>. Jako odrębną grupę czwartą ujmijemy proste związki gazowe wodoru względnie tlenu z pierwiastkami takimi jak: chlor, brom, jod i siarka. Tu więc należą HCl, HBr, HI, H<sub>2</sub>S, SO<sub>2</sub>. W końcu omówimy wyniki badań nad refrakcją i dyspersją prostych związków gazowych, zawierających w swym składzie węgiel, jako to: CH<sub>4</sub>, C<sub>2</sub>H<sub>2</sub>, C<sub>2</sub>H<sub>4</sub>, C<sub>2</sub>H<sub>6</sub>, CO<sub>2</sub>, CO, C<sub>2</sub>N<sub>2</sub>, CS<sub>2</sub>.

## GRUPA I.

### 1. Wodór (H<sub>2</sub>).

Dyspersja światła w wodorze znana jest stosunkowo najlepiej i w najszerszym zakresie widma od 230,2  $\mu\mu$  do 8678,4  $\mu\mu$ . Najdalej w dziedzinę fali krótkich sięgają pomiary J. Kocha<sup>1)</sup>, który zmierzył metodą fotograficzną 20 współczynników na przestrzeni między 230,2  $\mu\mu$  a 546,2  $\mu\mu$ . Niektóre z nich podajemy w zamieszczonej poniżej tablicy. Obejmuje ona wyniki pomiarów Kettelera<sup>2)</sup>, Lorenza<sup>3)</sup>, Mascarta<sup>4)</sup>, Perreau<sup>5)</sup>, Scheela<sup>6)</sup>, J. Kocha<sup>7)</sup> i C. i M. Cuthbertsonów<sup>8)</sup>

H <sub>2</sub>	(v - 1) · 10 <sup>4</sup>					C. i M.
$\lambda$ w $\mu\mu$	Ketteler	Lorenz	Mascart	Perreau	Scheel	Cuthbertson
230,2						159,4
257,7						154,0
276,0						151,4

<sup>1)</sup> J. Koch, Arkiv för Mat. Astr. och Fysik. 8, str. 20 (1912).

<sup>2)</sup> E. Ketteler, Farbenzerstreuung der Gase, Bonn (1865).

<sup>3)</sup> L. Lorenz, Wied. Ann. II, str. 70 (1880).

<sup>4)</sup> E. Mascart, Ann. Ec. Norm. Sup. 6, str. 1 (1877).

<sup>5)</sup> F. Perreau, Ann. de Chim. et de Phys. 7, str. 289 (1896).

<sup>6)</sup> K. Scheel, Verh. d. D. ph. Ges. 9, str. 24 (1907).

<sup>7)</sup> J. Koch, Nova Acta Reg. Sc. Ups. S. 4, V. 2 (5), str. 32 (1909).

<sup>8)</sup> C. i M. Cuthbertson, Proc. Roy. Soc. A. Vol. 88, str. 164 (1909).

$\lambda$ w $\mu\mu$	$(\nu - 1) \cdot 10^6$					J. Koch	C. i M. Cuthbertson
	Ketteler	Lorenz	Mascart	Perreau	Scheel		
292,6						149,5	
354,4						144,9	
398,5						142,9	
410,9						142,5	
430,8	142,3						
435,8					140,6	141,8	
467,7				140,8	139,8		
471,2							
480,0				140,6			
486,1							140,6
491,7						140,5	
492,2					139,6		
508,5			139,2	140,0			
537,8				139,3			
546,1						139,7	139,7
578,0					138,9	139,2	139,3
589,6	142,9	138,7	138,7	139,0			
643,8			138,3	138,5			
656,3							138,7
667,6					137,6		
670,8	142,0	138,0				138,5	

W podczerwonej części widma znane są współczynniki (J. Koch):

$$\lambda = 6709,4 \mu\mu \quad (\nu - 1) \cdot 10^6 = 136,1$$

$$8678,4 \quad \quad \quad 136,1$$

Dla porównania tych wyników zestawmy wartości współczynnika  $b$ , występującego we wzorze (4). Otrzymamy

$b = 7,28 \cdot 10^{-11} \text{ cm}^2$	(Ketteler)
7,8	(Perreau)
7,63	(Lorenz)
6,68	(Scheel)
7,61	(Cuthbertsonowie).

Dyspersję w wodrze w widzialnej części widma można z dostatecznym przybliżeniem opisać przy pomocy wzoru (1). Według C. i M. Cuthbertsonów należy wówczas przyjąć:

$$C = 1,692 \cdot 10^{27} \text{ sek}^{-2}$$

$$n_0^2 = 12409 \cdot 10^{27} \text{ sek}^{-2}.$$

Drganie własne określone będzie długością fali

$$\lambda_0 = 85,2 \mu\mu.$$

Bardzo bliską wartość otrzymał Natanson z liczb Perreau:

$$\lambda_0 = 87,0 \mu\mu.$$

Siertsema i de Haas<sup>1)</sup> wyliczyli z pomiarów dyspersji w wodrze zgęszczonym do 80 atm.

$$\lambda_0 = 87,0 \mu\mu.$$

J. Koch wywnioskował na podstawie obserwacji w nadfioletowym widmie, że:

$$\lambda_0 = 88,2 \mu\mu.$$

Okazuje się, że z praktycznym dostatecznym przybliżeniem można wodór uznać za substancję mono-elektronową. Natanson<sup>2)</sup> udowodnił, że wzór Lorentza zgadza się wybornie z danymi Perreau i Kocha i nie jest sprzeczny z wynikami badań Scheela i Mascarta. Odchylenia występują dopiero wyraźniej w widmie nadfioletowym i dadzą się wyłomaczyć przypuszczeniem, że oprócz wymienionego drgania własnego istnieje jeszcze w dziedzinie fal znacznie krótszych drugi obszar rezonancyjny, bardzo już słabo wpływający na dyspersję w zakresie widma widzialnego. Z porównania liczb, podanych przez rozmaitych autorów, wynika, że jakkolwiek wartości bezwzględne współczynników są częstokroć różne, to przebieg dyspersji jest na ogół zgodny.

## 2. Tlen ( $O_2$ ).

Wiadomości, odnoszące się do dyspersji tlenu, są nader skromne. Z prac Lorenza, Mascarta<sup>3)</sup>, Ahrberga<sup>4)</sup>, C. i M. Cuthbertsonów<sup>5)</sup> J. Kocha i Rentschlera<sup>6)</sup> zestawić można następującą tablicę współczynników:

- 1) L. A. Siertsema i M. de Haas, Proc. Amsterdam (14), str. 592 (1911).
- 2) L. Natanson, Bull. Acad. Cracovie, Avril 1907, str. 332.
- 3) Według H. Dufet, Recueil de Données Numériques, Optique, Paris 1909.
- 4) F. Ahrberg, Diss Halle, 1909.
- 5) C. i M. Cuthbertson, Proc. Roy. Soc. 83, str. 151 (1910).
- 6) H. C. Rentschler, Astroph. Journ. 28, str. 435 (1908).

$\lambda$ w $\mu\mu$	O <sub>2</sub>		$(\nu-1) \cdot 10^6$		J. Koch	Rentschler
	Lorenz	Mascart	Ahrberg	C. i M. Cuthbertson		
334,2						283,2
404,7						277,6
435,9			274,7		274,3	275,2
486,1				273,4		
508,5		271,9				
537,8		271,4				
546,1			270,6	271,7	270,4	272,5
577,1						271,9
578,0			270,1			
579,0				270,9		
589,3	271,5	270,2			269,7	
643,9		269,6	269,2			
656,3				269,7		
670,9	270,3				268,3	
6709,4					264,3	
8678,4					265,0	

Stosując wzór interpolacyjny (4) do liczb Lorenza, otrzymamy

$$b = 6,75 \cdot 10^{-11}$$

Daty Mascarta dają wartości różne w różnych przedziałach widmowych. Między

$$643,7 \text{ a } 588,8 \mu\mu \quad . \quad . \quad . \quad b = 4,9 \cdot 10^{-11}$$

$$588,8 \text{ „ } 537,7 \text{ „} \quad \quad \quad 7,8 \text{ „}$$

$$588,8 \text{ „ } 5,084 \text{ „} \quad \quad \quad 6,4 \text{ „}$$

Rentschler proponuje wzór trójwyrazowy:

$$(\nu-1) \cdot 10^7 = 2697,4 + \frac{3,72}{\lambda^2 \cdot 10^8} + \frac{1,26}{\lambda^4 \cdot 10^{16}}$$

Według Cuthbertsonów stała  $b$  będzie:

$$b = 7,33 \cdot 10^{-11}$$

Przy użyciu zaś wzoru (1) należy przyjąć:

$$C = 3,397 \cdot 10^{27}$$

$$n_0^2 = 12804 \cdot 10^{27}$$

Dla porównania obliczmy długość fali drgania własnego elektronów dyspersyjnych według pomiarów Lorenza, Cuthbertsonów i Kocha:

$$\lambda_0 = 82 \mu\mu \text{ (Lorenz)}$$

$$83,8 \text{ „ (Cuthbertsonowie),}$$

$$84 \text{ „ (Koch).}$$

Natanson wyliczył z dat Kocha dla ultraczerwieni przy pomocy wzoru Lorentza:

$$\lambda_0 = 82 \mu\mu.$$

Warto jednak zaznaczyć, że badania Lymana<sup>1)</sup> wykazały jedną silną smugę absorbcyjną w tlenie między  $\lambda = 176,0$  a  $125 \mu\mu$  i uczyniły prawdopodobnym, że istnieje także druga taka smuga po stronie jeszcze krótszych fal. Obliczona wyżej z dyspersji częstość drgania własnego mogłaby więc mieć niejako znaczenie reprezentacyjne, jako równoważna łącznemu działaniu wszystkich obszarów rezonancyjnych.

### 3. Azot (N<sub>2</sub>).

Jeszcze mniej liczne i mniej zgodne są daty dotyczące dyspersji azotu:

$\lambda$ w $\mu\mu$	N <sub>2</sub>		$(\nu-1) \cdot 10^6$		C. i M. Cuthbertson
	Mascart	Scheel	Rentschler		
334,1				307,0	
365,0				303,4	
404,6				301,0	
435,8			302,0	299,5	
471,2			301,4		
486,1					301,2
492,2			299,9		
508,5	299,4				
537,8	298,6				
546,1		298,2	296,7	299,8	
576,9			296,6		
578,0		297,6			
589,6	297,3				
643,8	296,6				
656,3					298,2
667,6		296,1			
705,6		294,5			

<sup>1)</sup> Th. Lyman, Astroph. Journ. 27, str. 87 (1908).

Obliczone z dat Mascarta spólczynniki  $b$  wzoru (4) są różne w różnych częściach widma. Między

656,3	a	588,8	$\mu\mu$	. . .	$b = 5,2 \cdot 10^{-11}$
588,8	"	537,7	"	. . .	7,6 "
588,8	"	508,5	"	. . .	7,3 "

Podjezraną wydaje się nadewszystko ta okoliczność, że wartości  $b$ , jakie znalazł Mascart w tlenie i azocie, są większe niż dla powietrza. Średnia z wyżej podanych liczb wynosiłaby:

$$b = 6,7 \cdot 10^{-11},$$

Według Scheela:

$$b = 7,7 \cdot 10^{-11}.$$

Z pomiarów C. i M. Cuthbertsonów wynika:

$$b = 5,496 \cdot 10^{-11}$$

przy użyciu zaś wzoru (1) otrzymuje się:

$$C = 5,0345 \cdot 10^{27},$$

$$n_0^2 = 17095 \cdot 10^{27}.$$

Ze względu na związek między refrakcją i dyspersją tlenu, azotu i argonu z jednej a powietrza z drugiej strony (por. Rozdz. VI), pomiary C. i M. Cuthbertsonów dają stosunkowo największą gwarancję dokładności. Wynika z nich, że, pojmując azot jako substancję złożoną z cząsteczek o jednym tylko gatunku elektronów dyspersyjnych, należy drganie własne umieścić przy

$$\lambda_0 = 72,6 \mu\mu.$$

Z liczb, podanych przez Scheela, wyliczył natomiast Natanson

$$\lambda_0 = 88 \mu\mu.$$

#### 4. Hel (He).

Refrakcję helu względem powietrza zbadali po raz pierwszy Lord Rayleigh<sup>1)</sup> oraz Ramsay i Travers<sup>2)</sup>. Rayleigh podał, że stosunek refrakcji helu do powietrza wyraża się liczbą 0,146, zaś Ramsay i Travers

<sup>1)</sup> Lord Rayleigh, Proc. Roy. Soc. 59, str. 201 (1896).

<sup>2)</sup> Ramsay i Travers, Proc. Roy. Soc. A 62, str. 225 (1898), 67, str. 330 (1900).

znaleźli dla środkowej części widma (w pobliżu linii  $D$ ) liczbę 0,1238. Zważywszy, że spólczynnik załamania światła sodowego w powietrzu jest 1,000292, otrzymamy dla helu

$$v_D = 1,0000361.$$

Około 3% niższą wartość znajdują dla światła sodowego W. Burton<sup>1)</sup> oraz C. Cuthbertson i E. P. Metcalfe<sup>2)</sup>. Z pomiarów Burтона, Cuthbertsona i Metcalfe'a, C. Herrmanna<sup>3)</sup> oraz C. i M. Cuthbertsonów<sup>4)</sup> otrzymuje się następującą tablicę spólczynników:

$\lambda$ w $\mu\mu$	He			
	Burton	Cuthbertson Metcalfe	Herrmann	C. i M. Cuthbertson
435,9			353,5	
486,1	351,0			
501,6	350,8			
530,0		349,8		
546,1	350,4		345,3	349,5
576,0			343,7	
579,0				349,2
587,6	350,0			
589,6	350,0	349,3		
643,8			340,5	348,6
650,0		349,0		
656,3	350,6			

Dyspersję wyraża Burton wzorem:

$$v - 1 = 0,0000347 \left( 1 + \frac{2,2}{\lambda^2 \cdot 10^{11}} \right).$$

Ten sam wzór obejmuje liczby Cuthbertsona i Metcalfe'a. Prosta, łącząca wszystkie 9 punktów, jest niemal równoległa do osi  $\lambda$ . Punkty odpowiadające liczbom Herrmanna, leżą również na prostej, która jednak jest silnie pochylona względem osi  $\lambda$ ; to znaczy, że przebieg dyspersji jest bardziej stromy, niżby to wynikało z pomiarów obu angielskich badaczy. Pomiar, wykonany przez K. Scheela wraz z R. Schmidtem<sup>5)</sup>, doprowadziły

<sup>1)</sup> W. Burton, Proc. Roy. Soc. A 50, str. 404 (1908).

<sup>2)</sup> C. Cuthbertson i E. P. Metcalfe, Proc. Roy. Soc. A. 50, str. 418 (1908).

<sup>3)</sup> C. Herrmann, Dissert. Halle (1908).

<sup>4)</sup> C. i M. Cuthbertson, Proc. Roy. Soc. A. 54, str. 13 (1910).

<sup>5)</sup> K. Scheel i R. Schmidt, Verh. d. D. ph. Ges. 10 (5), str. 207.

do wniosku, że w helu dyspersja spólczynnika załamania jest niedostrzeżalna. C. i M. Cuthbertsonowie wyrażają dyspersję wzorem (1), którego stałe są:

$$C = 2,42476 \cdot 10^{27}$$

$$n_0^2 = 34991,7 \cdot 10^{27}$$

### 5. Argon (Ar).

Ramsay i Travers<sup>1)</sup> oznaczyli refrakcję argonu względem powietrza liczbą 0,968. Liczba ta odnosi się do światła sodowego. Posługując się wartością 1,0002922 na spólczynnik załamania powietrza, odpowiadający tej  $\lambda$ , otrzymamy dla argonu

$$\nu_D = 1,0002828.$$

Dyspersję zmierzili Burton, Ahrberg oraz C. i M. Cuthbertsonowie.

$\lambda$ w $\mu\mu$	Ar		
	Burton	Ahrberg	C. i M. Cuthbertson
		$(\nu - 1) \cdot 10^6$	
435,9		285,1	
479,9			283,8
486,1	286,0		
501,6	285,6		
508,6			283,0
520,9			282,8
546,1	284,6	281,6	282,3
577,0		280,2	281,7
579,0			281,7
587,6	283,8		
589,6	283,7		
643,8			280,8
656,3	282,9		

Wyniki tych pomiarów są między sobą niezgodne. Występuje to szczególnie wyraźnie, jeśli się podane wyżej tablice przedstawi graficznie.

Burton ujął swoje liczby wzorem:

$$\nu = 1,0002792 + \frac{1,6}{\lambda^2 \cdot 10^{15}}$$

Cuthbertsonowie stwierdzili, że liczby Burtona dadzą się też wyrazić wzorem (1) przy użyciu stałych

<sup>1)</sup> Ramsay i Travers, Proc. Roy. Soc. A **67**, str. 331 (1900).

$$C = 9,124 \cdot 10^{27}$$

$$n_0^2 = 16335 \cdot 10^{27}$$

Z własnych pomiarów wylczyli

$$C = 9,43264 \cdot 10^{27}$$

$$n_0^2 = 17008,9 \cdot 10^{27}$$

### 6. Neon (Ne).

Pomiar refrakcji i dyspersji neonu wykonali dwukrotnie C. i M. Cuthbertsonowie.<sup>1)</sup>

Z pierwszego pomiaru otrzymali:

$\lambda$ w $\mu\mu$	$(\lambda - 1) \cdot 10^6$
480,0	67,31
546,1	67,15
643,8	67,01

$$C = 5,133 \cdot 10^{27}$$

$$n_0^2 = 38517 \cdot 10^{27}$$

Ponowny pomiar dał wyniki bardzo do poprzednich zbliżone.

Ci sami autorowie wykonali pomiary i w innych gazach szlachetnych: w kryptonie (7) i xenonie (8). Liczby przez nich podane odnoszą się do cząsteczek dwuatomowych, liczby  $(\nu - 1) \cdot 10^6$ , zredukowane do 0° i 760 mm., zostały zatem wszędzie pomnożone przez 2.

$\lambda$ w $\mu\mu$	$2 \cdot (\nu - 1) \cdot 10^6$		
	Ne	Kr	Xe
479,9	134,62	863,61	142,57
508,6	134,46	860,68	141,85
520,9	134,42	859,55	141,58
546,0	134,32	857,48	141,09
576,9	134,21	855,29	140,58
579,0	134,21	855,22	140,55
643,8	134,03	851,60	139,74
670,8		850,66	138,46

Dyspersja tych trzech gazów da się wyrazić wzorem  $\nu - 1 = \frac{C}{n_0^2 - n^2}$  przy użyciu stałych następujących:

<sup>1)</sup> C. i M. Cuthbertson, Proc. Roy. Soc. A. **83**, str. 149 (1909), **84**, str. 13 (1910).

	Ne	Kr	X
$C \cdot 10^{27}$ . . . . .	5,18652	10,6893	12,2418
$n_0^2 \cdot 10^{27}$ . . . . .	38916,2	12767,9	8977,9

## GRUPA II.

Wartości spólczynników załamania gazów omawianych dotychczas odnoszą się do stanu normalnego (0°, 760 mm.). To znaczy, że refrakcja, wyrażona liczbą  $(\nu-1) \cdot 10^8$ , daje nam miarę wpływu, jaki na falę o częstotliwości  $n$  wywiera ta sama liczba cząsteczek różnych gazów. Redukcja opiera się na następujących założeniach. Obserwujemy np. w wodorze o gęstości  $\rho$  pod ciśnieniem  $p$  w temperaturze  $t$  refrakcję  $\nu-1$ ; postulujemy związek

$$\frac{\nu-1}{\rho_0} = \frac{\nu'-1}{\rho}, \quad (1)$$

do którego dołączamy zależność

$$\rho_0 = \rho \frac{T}{273} \cdot \frac{760}{p}, \quad (2)$$

wynikającą z praw Boyle'a i Gay Lussaca. Z równości (1) i (2) otrzymujemy wartość zredukowaną:

$$\nu-1 = (\nu'-1) \frac{T}{273} \cdot \frac{760}{p}. \quad (3)$$

Postępowanie takie będzie jednak nieuzasadnione tam, gdzie badaj jeden z powyższych związków nie obowiązuje z dostatecznym przybliżeniem. Nie wolno go zatem stosować ani do par, ani do gazów, okazujących w temperaturze pokojowej i pod ciśnieniem jednej atmosfery znaczniejsze odstępstwa od praw gazów doskonałych. Aby więc znaleźć porównywalne ze sobą liczby, mierzące refrakcję różnych substancji gazowych według tej samej skali, musimy odnośnie do par inaczej sformułować zadanie.

Przypuścimy, że znamy lub zmierzmy gęstość pary pierwiastka, dla której w danych warunkach otrzymaliśmy z pomiaru liczbę  $\nu'$ . Chcemy się dowiedzieć, w jakim stopniu wpływałyby na prędkość fali atomy te same pary, gdyby ich liczba w jednostce objętości była ta sama, jak liczba atomów wodoru w warunkach normalnych (0°, 760 mm.).

Z równania (1) wynika, że

$$\frac{\nu-1}{\nu'-1} = \frac{\rho_0}{\rho} \quad (3)$$

$\rho$  oznacza tu gęstość zmierzoną,  $\rho_0$  nieznaną nam gęstość normalną pary, której jednak obecnie nie możemy już obliczyć rachunkiem, opartym na

prawach gazowych. Wiemy natomiast, że jeśli liczba atomów pary w jednostce objętości jest ta sama jak liczba atomów wodoru w stanie normalnym, wówczas stosunek gęstości  $\frac{\rho_0}{(\rho_H)_0}$  jest równy stosunkowi ich ciężarów atomowych  $\frac{a}{a_H}$ .

Innymi słowy

$$\rho_0 = (\rho_H)_0 \cdot \frac{a}{a_H}. \quad (4)$$

Z równań (3) i (4) wynika tedy<sup>1)</sup>

$$\nu-1 = (\nu'-1) \frac{(\rho_H)_0 \cdot \frac{a}{a_H}}{\rho}. \quad (5)$$

Według tego wzoru (5) redukują Cuthbertsonowie wyniki swych obserwacji odnoszących się do par niektórych pierwiastków. Dla odróżnienia od innych oznaczają będziemy liczby zredukowane według wzoru (5) symbolem  $(\nu-1)^*$ . Jeżeli przypuścimy, że cząsteczka wodoru składa się z dwóch atomów, cząsteczka zaś pary badanej z  $p$  atomów, otrzymamy

$$\frac{(\nu-1)^*}{\nu-1} = \frac{2}{p}. \quad (6)$$

Do grupy II zaliczyliśmy chlor, brom, jód, siarkę, fosfor, fluor, rtęć, potas, kadm, cynk, arsen i tellur. Przeważna część tych ciał zbadana została przez C. Cuthbertsona<sup>2)</sup> i jego współpracowników. Uwzględnimy z nich szczegółowo te tylko pierwiastki, które wchodziły w skład prostych związków gazowych (jako to Cl, Br, J, S), odnośnie do innych zadowolimy się zebraniem samych tylko liczbowych ostatecznych wyników.

### 9. Chlor (Cl).

Dulong<sup>3)</sup> porównał refrakcję chloru o gęstości 2,47 z refrakcją powietrza i znalazł dla światła białego wartość 1,000772. Według pomiarów

<sup>1)</sup> C. Cuthbertson i jego współpracownicy porównywali okolicznościowo także wpływ, jaki wywiera na prędkość światła ta sama liczba cząsteczek różnych związków gazowych. Należy wówczas użyć wzoru redukcyjnego (5) z tą tylko zmianą, że zamiast stosunku ciężarów atomowych  $\left(\frac{a}{a_H}\right)$  wystąpi w liczniku stosunek ciężaru cząsteczki związku badanego  $(\mu)$  do ciężaru cząsteczki wodoru  $(\mu_H)$ .

<sup>2)</sup> C. i M. Cuthbertson, Phil. Trans. Roy. Soc. A. 218, str. 1 (1913).

<sup>3)</sup> Dulong, Ann. de Chim. et de Phys. 31, str. 154 (1826).

Mascarta<sup>1)</sup>, wykonanych również ze światłem białym w temperaturze 12°,  $\nu - 1 = 0,000768$ .

Dyspersję zmierzili po raz pierwszy C. i M. Cuthbertsonowie

$\lambda$ w $\mu\mu$	$C$	$(\nu - 1)^* \cdot 10^3$
480,0	791,66	
508,6	787,91	
520,9	786,51	
546,1	784,00	
576,9	781,35	
579,0	781,21	
643,8	777,03	
670,8	775,63	

Liczby powyższe można z dostatecznym przybliżeniem ująć wzorem (1), którego stałe są

$$C = 7,3131 \cdot 10^{27}$$

$$n_0^2 = 9629,4 \cdot 10^{27}$$

Wartości wyliczone z tego wzoru wyznaczają bieg krzywej o nieco większej krzywiznie, niżby to odpowiadało doświadczeniu. Krzywa „teoretyczna“ i „doświadczalna“ przecinają się więc w dwóch punktach, co przemawia za tem, iż – jak można się było spodziewać – model mono-elektronowej substancji nie wystarcza do opisu optycznych własności gazu zabarwionego, takiego jak chlor. Z obserwacji i pomiarów p. Laird<sup>2)</sup> wynika, że żółto zabarwiony chlor posiada niezmiernie zawiłe liniowe widmo absorbcyjne na całym obszarze fal między 479,9 a 535,0  $\mu\mu$ . Warstwa około 60 cm. gruba absorbuje nadto cały przedział fal od 259 do 465,0  $\mu\mu$ . Trudno ocenić wpływ liniowej absorbcji w chlorze na dyspersję jego współczynnika załamania, ponieważ prążki absorbcyjne są niezmiernie wąskie i liczne. Sądzę, iż próba podjęta w tym kierunku przez Cuthbertsonów dała wynik ujemny przedewszystkiem z tego powodu, że autorowie posługiwali się przyrządami zbyt słabo rozszczepiającymi; nie mogli więc nawet zaobserwować widma, odfotografowanego przez p. Laird. W warunkach opisanego przez nich doświadczenia nie mogło być mowy o wycięciu z monochromatora tak wąskiej dziedziny widma, jak ta, która się zawiera między dwoma sąsiadującymi prążkami absorbcyjnymi. Jedynie metoda poziomych prążków w ciągłym widmie, wy-

<sup>1)</sup> Mascart, C. R. str. 32 (1878).

<sup>2)</sup> E. Laird, Astroph. Journ. 14, str. 85 (1901).

tworzonym przez dostatecznie rozszczepiającą siatkę Rowlanda, mogłaby dać rezultat dodatni.

## 10. Brom (Br).

Mascart<sup>1)</sup> znalazł dla linii  $D$

$$\nu = 1,001125.$$

Pomiar dyspersji jest niezmiernie trudny z powodu silnej absorbcji. C. i M. Cuthbertsonowie podają:

$\lambda$ w $\mu\mu$	$C$	$(\nu - 1)^* \cdot 10^3$
546,1	1184,9	
560,0	1179,6	
570,0	1176,2	
575,0	1174,1	
580,0	1173,5	
600,0	1166,2	
643,8	1157,0	
670,8	1152,5	

$$C = 4,2838 \cdot 10^{27}$$

$$n_0^2 = 3919,2 \cdot 10^{27}$$

Wpływu absorbcji na przebieg współczynników załamania nie stwierdzili z powodu tych samych trudności, o których wspomnieliśmy przy chlorze.

## 11. Jod (J).

Le Roux<sup>2)</sup> zauważył, że przebieg funkcji  $\nu(\lambda)$  jest w jodzie anormalny. Obserwację tę powtórzył następnie Hurion<sup>3)</sup>, który zmierzył przy pomocy przyzmatu, zawierającego jod ogrzany do 700°, współczynniki:

$$\begin{aligned} \text{w świetle czerwonym} & \dots \nu = 1,00205 \\ \text{w świetle fioletowym} & \dots \nu = 1,00192. \end{aligned}$$

Niedawno podjęli Cuthbertsonowie<sup>4)</sup> nową próbę pomiaru dyspersji. Rezultat w zasadzie zgodny z wynikiem Huriona:

<sup>1)</sup> H. Dufet, Recueil de Données i t. d. l. c.

<sup>2)</sup> Le Roux, C. R. 51, str. 171 (1860); 55, str. 127 (1862); Pogg. Ann. 117, str. 659 (1862).

<sup>3)</sup> Hurion, Ann. Ec. Norm. Sup. 6, str. 367 (1877).

<sup>4)</sup> l. c.

$$\lambda = 643,8 \mu\mu \quad \nu = 1,00210$$

nie przynosi jednak nic nowego. Z powodu wyraźnej anomalii liczby używane przy pomocy pomiaru, wykonanego zwyczajną metodą interferencyjną, są niepewne i mało pouczające. Pomiar dyspersji należałoby wykonać przy pomocy skrzyżowania pryzmatów.

**12. Siarka, 13. Fosfor, 14. Fluor, 15. Rteć, 16. Arsen, 17. Cynk, 18. Kadm, 19. Selen, 20. Tellur** zbadane zostały w stanie pary przez C. Cuthbertsona i E. P. Metcalfa<sup>1)</sup>. Wyniki tych nader trudnych i wymagających koniecznie rewizji pomiarów zebrane są w następującej tabliczce:

	$(\nu - 1) \cdot 10^6$			
	$\lambda = 518,3$	546,0	589,3	656,3 $\mu\mu$
S . . . . .	—	—	1101	—
P . . . . .	—	—	1197	—
F . . . . .	—	—	195	—
Hg . . . . .	1885	1882	1866	1799
As . . . . .	—	1580	1550	—
Zn . . . . .	2070	2150	2060	1960
Cd . . . . .	2780	2725	2675	2675
Se . . . . .	—	1570	1565	1530
Te . . . . .	—	2620	2495	2370

### GRUPA III.

#### 21. Para wodna (H<sub>2</sub>O).

Dufet podaje następujące wartości refrakcji światła sodowego, zebrane z prac dawniejszych badaczy:

Fizeau . . . . .	$(\nu - 1) 10^6 = 254$
Jamin . . . . .	257,9
Mascart . . . . .	257
Lorenz . . . . .	250

Najnowsze pomiary C. i M. Cuthbertsonów dały wyniki następujące:

<sup>1)</sup> C. Cuthbertson i E. P. Metcalfe, Phil. Trans. Roy. Soc. A. 207, str. 135 (1908).

$\lambda$ w $\mu\mu$	H <sub>2</sub> O $(\nu - 1) \cdot 10^6$
477,9	254,95
508,6	253,80
520,9	253,45
546,1	252,70
576,9	251,95
579,0	251,91
643,8	250,69
670,8	250,28

$$C = 2,62707 \cdot 10^{27},$$

$$n_0^2 = 10697 \cdot 10^{27}.$$

#### 22. Bezwodnik podazotawy (N<sub>2</sub>O).

Dulong podaje dla światła białego  $\nu = 1,000507$ .

Jamin dla czerwonej części widma  $\nu = 1,000507$ .

Według Mascarta przebieg krzywej dyspersji wynika z następującej tablicy:

N <sub>2</sub> O $\lambda$ w $\mu\mu$	Mascart $(\nu - 1) \cdot 10^6$	Cuthbertsonowie $(\nu - 1) \cdot 10^6$
477,9	523,0	514,15
508,6	520,7	512,08
520,9	—	511,45
537,8	519,2	—
546,1	—	510,00
576,9	—	508,57
579,0	—	508,48
589,6	515,2	—
643,8	513,2	506,16
670,8	—	505,44

Krzywa dyspersji jest według Cuthbertsonów określona stałami:

$$C = 5,6685 \cdot 10^{27},$$

$$n_0^2 = 11416 \cdot 10^{27}.$$

#### 23. Tlenek azotu (NO).

Według Dufeta znaleźli:

Dulong dla światła białego  $\nu = 1,000302$ ,

Mascart dla sodowego  $\nu = 1,0002971$ .

W r. 1908 wykonali pomiar C. Cuthbertson i E. P. Metcalfe<sup>1)</sup> i podają:

<sup>1)</sup> C. Cuthbertson i E. P. Metcalfe, Proc. Roy. Soc. A. 86, str. 406 (1908).



$$\lambda = 589,3 \mu\mu \quad \dots \quad (\nu - 1)^* \cdot 10^6 = 2939$$

C. i M. Cuthbertsonowie<sup>1)</sup> wyznaczyli dyspersję:

$\lambda$ w $\mu\mu$	NO ( $\nu - 1$ ) <sup>*</sup> · 10 <sup>6</sup>
480,0	297,76
508,6	296,66
520,9	296,22
546,1	295,50
576,9	294,74
579,0	294,68
643,8	293,44
670,8	293,06

$$C = 3,5210 \cdot 10^{27},$$

$$n_0^2 = 12216 \cdot 10^{27}.$$

#### 24. Amoniak (NH<sub>3</sub>).

Biot-Arago (światło białe)	$\nu = 1,000381$
Dulong	383
Mascart (światła sodowe)	377
Lorenz	373
" (światło litowe)	371
G. W. Walker (światło sodowe)	379

Dyspersję wyznaczyli dopiero niedawno C. i M. Cuthbertsonowie oraz S. Loria i J. Patkowski<sup>2)</sup>.

$\lambda$ w $\mu\mu$	NH <sub>3</sub>	
	C. i M. Cuthbertson ( $\nu - 1$ ) <sup>*</sup> · 10 <sup>6</sup>	Loria-Patkowski ( $\nu - 1$ ) <sup>*</sup> · 10 <sup>6</sup>
435,8		396,1
480,0	383,00	
486,1		391,8
508,6	380,83	
520,9	380,02	
546,1	378,60	387,0
576,9	377,07	
579,0	377,01	
587,5		384,8
643,8	374,55	
656,3		382,5
670,8	373,76	

<sup>1)</sup> C. i M. Cuthbertson, Phil. Tras. Roy. Soc. A. 218, 1. (1913).

<sup>2)</sup> S. Loria i J. Patkowski, Bull. Acad. Cracovie, Octobre 1913.

Różnica pomiędzy wynikami tych dwóch seryj pomiarów jest tylko pozorna, ponieważ Cuthbertsonowie wyliczali wartości  $(\nu - 1)^* \cdot 10^6$ , a Loria i Patkowski redukowali swoje wartości do stanu normalnego według wzoru (—), używając na współczynnik temperatury refrakcji liczby Walkera:

$$\alpha = 0,00390.$$

Jeśli się jednak z danych Lorii i Patkowskiego wyliczy np. wartość  $(\nu - 1)^* \cdot 10^6$  dla  $\lambda = 546,1$ , otrzyma się również liczbę 378,6, zupełnie zgodną z wynikiem pomiarów Cuthbertsona. Do przedstawienia dyspersji należy według Cuthbertsonów użyć stałych

$$C = 2,9658 \cdot 10^{27}$$

$$n_0^2 = 8135,3 \cdot 10^{27}$$

według Lorii i Patkowskiego stałe wzoru (1) będą nieco inne:

$$C = 2,7898 \cdot 10^{21}$$

$$n_0^2 = 7509,8 \cdot 10^{27}$$

#### 25. Ozon (O<sub>3</sub>).

Do grupy III zaliczyliśmy także ozon. Jego refrakcja i dyspersja może mieć dla zagadnienia, jakie sobie postawiliśmy we wstępie, znaczenie doniosłe, jako przykład wpływu polimeryzacji na stałe optyczne. Badanie refrakcji czystego ozonu w temperaturze zwyczajnej jest niemożliwe. Pierwsze i jedyne dziś pomiary C. i M. Cuthbertsonów, którzy zbadali mieszaninę ozonu z tlenem i na podstawie reguły mieszanin (Rozdział VI) obliczyli refrakcję „czystego“ ozonu, doprowadziły do wyników następujących:

$\lambda$ w $\mu\mu$	O <sub>3</sub> ( $\nu - 1$ ) <sup>*</sup> · 10 <sup>6</sup>
480,0	532,90
508,5	526,21
520,9	523,75
546,1	520,00
570,0	516,24
590,0	515,14
643,8	509,68
670,8	507,64

Wyrażenie

$$(\nu - 1)^* = \frac{C}{n_0^2 - n^2},$$

gdzie

$$C = 2,0414 \cdot 10^{27}$$

$$n_0^2 = 4221,3 \cdot 10^{27}.$$

daje krzywą o krzywiznie nieco większej niżby wynikało z doświadczenia. Podobnie jak przy chlorze można wnosić, że wzór monoelektronowy nie wystarcza do opisu dyspersji. Należałoby więc przypuścić, że w cząsteczkach ozonu działają dwa gatunki elektronów.

## GRUPA IV.

Do grupy czwartej zaliczyliśmy:

**26. Chlorowódor, 27. Bromowódor, 28. Jodowódor, 29. Siarkowódor, 30. Dwutlenek siarki.**

Materyał liczbowy, odnoszący się do trzech pierwszych najprostszych i dzięki temu właśnie nader ważnych związków gazowych chlorowców z wodorem, jest jeszcze bardzo skąpy. Obok kilku liczb Mascarta, odnoszących się do refrakcji światła sodowego

w HCl . . . . .	$\nu = 1,000444,$
HBr . . . . .	570,
HJ . . . . .	906,

oraz jednej liczby Dulonga dla światła białego

$$\text{w HCl . . . . . } \nu = 1,000447$$

mamy do rozporządzenia jeden jedyny tylko nowszy pomiar C. i M. Cuthbertson<sup>1)</sup>, którego wyniki podajemy w następującej tablicy:

$\lambda$ w $\mu\mu$	$(\nu - 1)^* \cdot 10^6$		
	HCl	HBr	HJ
479,9	451,87	621,60	939,00
508,6	450,07	618,24	932,57
520,9	449,30	617,04	930,15
546,1	448,00	614,90	925,80
576,9	446,66	612,56	921,06
579,0	446,56	612,45	920,87
643,8	444,44	608,78	913,34
670,8	443,75	607,52	910,87

<sup>1)</sup> C. i M. Cuthbertson, Phil. Trans. Roy. Soc. I. c. (1913).

Wyznaczone tymi szeregami liczb krzywe dyspersji dadzą się ze znacznym przybliżeniem wyrazić wzorem (1), w którym stała  $C$  i  $n_0^2$  będą miały wartości:

	$C \cdot 10^{-27}$	$n_0^2 \cdot 10^{-27}$
HCl . . . . .	4,6425	10664
HBr . . . . .	5,1446	8668,4
HJ . . . . .	5,7900	6556,4

### 29. Siarkowódor ( $H_2S$ ).

O siarkowodorze wiadomo było do niedawna tyle tylko, że jego współczynnik załamania dla światła białego jest

według Arago . . . . .	$\nu = 1,000636$
według Dulonga . . . . .	641

Ponadto znana była jeszcze wartość współczynnika dla światła sodowego, podana przez Mascarta

$$\lambda = 589,3 \mu\mu . . . . . \nu = 1,000619$$

nie zupełnie zgodna z wynikami pomiarów wcześniejszych.

C. i M. Cuthbertsonowie<sup>1)</sup> zmierzili po raz pierwszy dyspersję:

$\lambda$ w $\mu\mu$	$H_2S$	
	$(\nu - 1)^* \cdot 10^6$	
486,1	650,9	
546,1	644,0	
579,0	641,2	
656,3	636,2	

$$C = 4,834 \cdot 10^{27},$$

$$n_0^2 = 7808 \cdot 10^{27}.$$

### 30. Dwutlenek siarki ( $SO_2$ ).

Dyspersję badali: Ketteler<sup>2)</sup>, C. i M. Cuthbertsonowie<sup>3)</sup> i L. Stuckert<sup>4)</sup>. Współczynnik dla fali 589,3  $\mu\mu$  zmierzyl bardzo starannie G. W. Walker:  $\nu = 1,000675$ .

Wyniki pomiarów dyspersji mamy w następującej tablicy:

<sup>1)</sup> C. i M. Cuthbertson, Proc. Roy. Soc. A. 83, str. 173 (1909).

<sup>2)</sup> Ketteler, Theoretische Optik, str. 478 (1885).

<sup>3)</sup> Stuckert, Diss. Karlsruhe (1910).

SO <sub>2</sub> λ w μμ	Ketteler (ν - 1) 10 <sup>6</sup>	C. i M. Cuthbertson (ν - 1)* · 10 <sup>6</sup>	Stuckert (ν - 1) · 10 <sup>6</sup>
435,9			696,3
500,0		658,6	
535,0	690,7		
546,1		664,0	682,0
580,0		661,3	
588,9	686,0		
650,0		657,1	
670,0		656,4	
670,8	681,5		660,6

Jeżeli liczby Kettelera zredukujemy według (5), otrzymamy

$$\lambda = 535,0 \dots (\nu - 1)^* \cdot 10^6 = 665,5$$

588,9	661,0
670,7	656,7

Stosując wzór (1), otrzymali Cuthbertsonowie na  $n_0^2$  liczby, wahające się między

$$9335 \cdot 10^{27} \quad \text{a} \quad 8388 \cdot 10^{27}.$$

Z własnych pomiarów wyliczyli

$$C = 5,728 \cdot 10^{27},$$

$$n_0^2 = 8929 \cdot 10^{27}.$$

## GRUPA V.

Stosunkowo obfity materiał doświadczalny nagromadzono odnośnie do refrakcji i dyspersji związków gazowych węgla z wodorem, tlenem, azotem i siarką. Wprawdzie optyczne własności pary węgla są nieznanne, jednakże to, co doświadczenie powie o gazach takich, jak metan, etylen, etan, acetylen i inne, mieć będzie niewątpliwie dla sprawy zależności refrakcji od sposobów wiązania atomów w cząsteczce znaczenie doniosłe i może się kiedyś stać cennym przyczynkiem do wyjaśnienia mechanizmu, ukrytego dziś pod nazwą „wartościowości“.

### 31. Metan CH<sub>4</sub>.

Dulong<sup>1)</sup> znalazł w świetle białym  $\nu = 1,000443$   
Mascart<sup>2)</sup> podał  $\nu_D = 1,000444$ .

<sup>1)</sup> Dulong, Ann. de Chim. et Phys. **31**, str. 154 i 172 (1826).

<sup>2)</sup> E. Mascart, C. R. str. 321 i 1182 (1878).

Pomiar dyspersji wykonali Loria<sup>1)</sup>, Kessler<sup>2)</sup> i J. Koch<sup>3)</sup>.

CH <sub>4</sub> λ w μμ	(ν - 1) 10 <sup>6</sup> Loria	Kessler	Koch
435,9		450,5	447,5
529,0	447,8		
546,1		443,5	440,7
571,8	445,4		
577,0		} 441,9	
579,0			
589,5			439,1
593,5	443,5		
637,5	441,1		
643,5		438,7	
658,5	447,8		
670,9			436,7
6709,4			419,2
8678,4			450,0

Liczby Lorii leżą powyżej punktu wyznaczonego przez Mascarta, liczby Kesslera leżą poniżej; proste, dookoła których grupują się te dwa szeregi punktów, są jednak dokładnie równoległe. Liczby Kocha są jeszcze mniejsze niż Kesslera; także charakter dyspersji jest według Kocha odmienny, wyraża się bowiem krzywą lekko wklęsłą. W podczerwonej części widma występuje drobna, ale wyraźna anomalia. Pomiędzy falami 6557,0 μμ a 8678,4 μμ leży mianowicie najsilniejsza z trzech smug absorbcyjnych, które według Ångströma i Coblentza przypadają w pobliżu 2,3 μ, 3,3 μ i 7,7 μ.

### 32. Acetylen (C<sub>2</sub>H<sub>2</sub>).

Według Mascarta  $\nu_D = 1,000610$ .

Pomiary dyspersji (Loria, Stuckert) dały wyniki zupełnie niezgodne.

C <sub>2</sub> H <sub>2</sub> λ w μμ	(ν - 1) 10 <sup>6</sup> Loria	Stuckert
435,9		619,0
546,1	569,8	605,1
589,6	565,1	
637,5	562,7	
670,8	560,4	597,7

<sup>1)</sup> S. Loria, Bull. de l'Acad. des Sc. Cracovie, Déc. (1908), str. 1059; Febr. (1909), str. 195. Ann. d. Phys. **29**, str. 605 (1909).

<sup>2)</sup> Kessler, Diss. Halle (1909)

<sup>3)</sup> J. Koch, l. c.

### 33. Etylen (C<sub>2</sub>H<sub>4</sub>).

Mascart podaje  $\nu_D = 1,000723$ ,

Dulong znalazł w świetle białym wartość  $\nu = 1,000678$ .

Do tej ostatniej zbliżone są wartości Lorii, podczas gdy Stuckert i Kessler znajdują współczynniki bliższe liczby Mascarta.

C <sub>2</sub> H <sub>4</sub>		( $\nu - 1$ ) 10 <sup>6</sup>	
$\lambda$ w $\mu\mu$	Loria	Stuckert	Kessler
435,9		742,8	739,4
523,0	662,0		
546,1	661,4	731,5	720,3
577,0			
579,0	658,8	}	716,9
589,6	657,1		
618,5	653,1		
643,5			713,1
667,7	651,6		
670,8		716,8	

Nietylko wartości poszczególnych współczynników, lecz również i przebieg dyspersji jest u każdego z obserwatorów różny.

**34. Etan (C<sub>2</sub>H<sub>6</sub>)** musi być również zbadany dokładniej, wyniki bowiem dotychczas wykonanych oznaczeń są niezadawalające.

C <sub>2</sub> H <sub>6</sub>		( $\nu - 1$ ) 10 <sup>6</sup>
$\lambda$ w $\mu\mu$	Loria	Stuckert
435,9		782,4
523,0	756,8	
546,1	756,6	769,0
579,0	754,2	
589,6	752,8	
618,5	750,9	
667,7	747,8	
670,8		762,9

Z zestawienia dat, odnoszących się do gazowych połączeń węgla z wodorem, nie można sobie dziś jeszcze wytworzyć jasnego wyobrażenia o ich własnościach optycznych. Mała liczba obserwacji oraz rozbieżność wyników zmuszają do gruntownej rewizji tego, co robiono dotychczas. Prawdopodobnie źródło sprzeczności leży nie w samej metodzie badania, dającej się łatwo skontrolować (np. pomiarem refrakcji powietrza), lecz raczej w niedostatecznej chemicznej czystości badanych substancji.

### 35. Bezwodnik węglowy (CO<sub>2</sub>).

Pomiary refrakcji światła białego dały:

Biot-Arago . . . . .	$\nu = 1,0004497$
Dulong . . . . .	4495
Jamin <sup>1)</sup> . . . . .	4500
Ramsay i Travers <sup>2)</sup> . . . . .	4488

W świetle sodowym znalazł Walker<sup>3)</sup>  $\nu_D = 1,000451$ .

Z badań, uwzględniających dyspersję, wymienimy: Kettelera<sup>4)</sup>, Mascarta<sup>5)</sup>, Perreau<sup>6)</sup>, Rentschlera<sup>7)</sup>, Kocha<sup>8)</sup>, Stuckerta<sup>9)</sup>, Gruschkego<sup>10)</sup>:

$\lambda$ w $\mu\mu$	CO <sub>2</sub>			(v - 1) 10 <sup>6</sup>			
	Ketteler	Mascart	Perreau	Rentschler	Koch	Stuckert	Gruschke
334,2				466,8			
365,1				458,2			
404,7				453,9			
435,9				451,3	456,3	458,9	
447,2							456,8
467,7			455,0				
471,3							455,0
480,0		458,7	454,4				
492,2							453,8
501,6							453,2
508,5		456,3	453,0				
535,2	450,7						
538,0		455,6	451,8				
546,1				447,0	450,6	451,1	
577,1				448,7			
587,6							449,9
589,6	449,2	454,4	450,2		449,2		
643,8		453,2	448,7				
667,8							447,5
670,8	447,7				447,1	446,6	
6709,4					480,4		
8678,4					457,9		

<sup>1)</sup> Jamin, Ann. de Chim. et de Phys. **59**, str. 282 (1860).

<sup>2)</sup> Ramsay i Travers, Proc. Roy. Soc. **62**, str. 225 (1898).

<sup>3)</sup> G. W. Walker, l. c.

<sup>4)</sup> Ketteler, Pogg. Ann. **124**, str. 390 (1865). Farbenzerstreuung in Gasen Bonn (1865).

<sup>5)</sup> Mascart, l. c.

<sup>6)</sup> F. Perreau, l. c.

<sup>7)</sup> H. C. Rentschler, l. c.

<sup>8)</sup> J. Koch, l. c.

<sup>9)</sup> L. Stuckert, l. c.

<sup>10)</sup> G. Gruschke, Diss. Breslau, (1910).

Z trzech pierwszych seryj pomiarów najregularniejszą krzywą dają liczby Perreau. Trzy wartości Kettelera wyznaczają przebieg dyspersji zupełnie podobny. Mniej regularny jest układ punktów odpowiadających liczbom Mascarta. Liczby Rentschlera są wybitnie mniejsze niż wszystkich innych współczesnych i dawniejszych obserwatorów; ponadto są one i między sobą niezgodne i nie dają wyobrażenia o przebiegu dyspersji. Wyniki pomiarów Kocha i Stuckerta wyznaczają dość zgodnie krzywą dyspersji równoległą do krzywej Perreau. Niemal doskonale zgodne ze sobą są pomiary Perreau i Gruschkego. W najnowszej pracy nad dyspersją w CO<sub>2</sub> ograniczają się Siertsema i de Haas<sup>1)</sup> do pomiaru

$$c = \frac{\nu - 1}{\nu_1 - 1},$$

przyjmując wartość  $c$  dla  $\lambda = 546,1$   $\mu\mu$ . za jedność. Liczba  $c$  stanowi wówczas bardzo czułą miarę dyspersji. Badanie dyspersji przy różnych ciśnieniach, dochodzących do 80 atmosfer, obejmuje zakres fal od 405 do 644  $\mu\mu$  i daje wyniki, bardzo dobrze się zgadzające z wynikami Kocha, Perreau i Gruschkego, mniej dobrze z liczbami Stuckerta.

Z podanej wyżej tablicy Kocha wynika, że w CO<sub>2</sub> podobnie jak w CH<sub>4</sub> przebieg dyspersji w podczerwonej części widma staje się anormalny.

**36. Tlenek węgla (CO)** badano wielokrotnie: Mascart, Perreau, Koch, Rentschler i Gruschke podają następujące tablice spółczynników:

$\lambda$ w $\mu\mu$	CO		$(\nu - 1) 10^6$		
	Mascart	Perreau	Koch	Rentschler	Gruschke
334,2				344,2	
365,1				339,6	
404,7				336,6	
435,9			341,6	334,6	
447,2					340,8
467,9		338,7			
471,3					339,4
480,1	338,9	338,2			
492,2					338,3
501,6					337,9
508,7	337,4	336,8			
538,0	336,3	335,7			
546,2			336,1	329,9	
577,1				330,3	
587,6					334,9
589,6	335,0	334,2	334,9		
644,0	333,9	332,8			
667,8					333,4
671,0			333,1		
6709,4			332,5		
8678,4			332,5		

<sup>1)</sup> L. H. Siertsema i M. de Haas, l. c.

Liczby Kocha, Gruschkego i Mascarta dają gładką, dostatecznie gęsto punktami usianą krzywą dyspersji, która przebiega powyżej krzywej Perreau i jest do niej kształtem bardzo podobna. Inny zupełnie charakter ma krzywa dyspersji, wykreślona przy pomocy liczb Rentschlera. Zarówno z obniżenia bezwzględnych wartości spółczynników, jako też i z charakteru dyspersji wnosićby można, że tlenek węgla zbadany przez Rentschlera był prawdopodobnie zanieczyszczony powietrzem; być też może, iż wspomniane wyżej usterki metody ujawniają się w tej niezgodności jego wyników z obserwacjami innych badaczy. W podczerwonej części widma występują i w CO ślady anomalii, pochodzącej od smug absorbcyjnych; wpływ ich na przebieg dyspersji jest jednak nierównie słabszy niż w CO<sub>2</sub>.

### 37. Gyan (C<sub>2</sub>N<sub>2</sub>).

Pomiary refrakcji i dyspersji światła w cyanie wykonywali Ketteler<sup>1)</sup>, Mascart, Chappuis i Rivière<sup>2)</sup> oraz Stuckert.

$\lambda$ w $\mu\mu$	C <sub>2</sub> N <sub>2</sub>			
	Ketteler	Mascart	Chappuis-Rivière	Stuckert
435,9				870,8
535,0	789			
546,1				859,5
589,3	784	822	845	
670,8	780			843,1

Dla światła białego podawali:

Arago <sup>3)</sup>	$\nu = 1,000848$
Dulong <sup>4)</sup>	834

Wyniki powyższe są jak widać niezgodne i niepewne.

### 38. Dwusiarczek węgla (CS<sub>2</sub>).

Znalazłem tylko trzy liczby:

Lorenz	$\lambda = 589,3$	$\nu = 1,00148$
Mascart <sup>4)</sup>	670,8	146
	589,3	148

Na tem zakończę przegląd materiału liczbowego, dotyczącego dyspersji spółczynnika  $\nu$  w gazach o najprostszej budowie chemicznej.

<sup>1)</sup> Dufet, l. c. str. 74.

<sup>2)</sup> I. Chappuis et Ch. Rivière, Ann. de Chim. et de Phys. 14, str. 1 (1888).

<sup>3)</sup> Dufet l. c. (wzgl. powietrza).

<sup>4)</sup> Landolt-Börnstein, Physikalisch-chemische Tabellen, str. 1019 (1912).

Pomijam cały szereg mniej lub więcej zawitych związków, które w postaci par zbadane zostały przez Mascarta, a przede wszystkim przez Prytza<sup>1)</sup>. Optyczne własności gazów i par złożonych z cząsteczek jeszcze bardziej skomplikowanych nie mogą dziś jeszcze mieć znaczenia dla zagadnień przez nas poruszonych.

## ROZDZIAŁ VI.

### Związek między refrakcją i dyspersją a chemicznym składem gazu.

**Zagadnienie.** Zebrany w poprzednich rozdziałach materiał liczbowy, odnoszący się do refrakcji i dyspersji w dziedzinach widma, dalekich od obszarów absorpcyj, pozwolił scharakteryzować każdy gaz dwiema wielkościami. Pierwszą z nich jest liczba ( $N$ ), drugą częstość niehamowanego własnego drgania ( $n_0$ ) tych części składowych atomu, które jako „elektrony dyspersyjne“ zmieniają prędkość fal świetlnych, biegnących przez zbiorowisko cząsteczek gazu. Aby wielkości te stać się mogły użytecznymi dla celu, który sobie wytknęliśmy, należy jeszcze określić bliżej rolę, jaka im przypada w udziale podczas wiązania się atomów w cząsteczkę. Poznanie związku pomiędzy refrakcją a własnościami chemicznymi ciał przezroczystych należy do zagadnień klasycznych Chemii fizycznej. Od r. 1860 nagromadzono olbrzymią ilość wysiłków i pracy celem stwierdzenia zależności pomiędzy refrakcją atomową składników a refrakcją molekularną związku chemicznego. Prace Gladstone'a i Dale'a, Landolta, Brühla i wielu innych stworzyły odrębną niemal naukę, „Spektrochemię“, która posiada wprawdzie nader bogaty zbiór obserwacji i liczb, lecz dała dotąd nikłe rezultaty teoretyczne. Ze stanowiska elektronowej teorii dyspersji rewizja tego materiału liczbowego byłaby niewątpliwie zadaniem pojętnym; obiecującym stanie się ono jednak tylko wówczas, jeśli się ograniczymy do tych prostych i złożonych substancji przezroczystych, które w stanie gazu lub pary zbadane zostały pod względem optycznym. Wpływ bowiem, jaki na prędkość światła wywiera gaz lub para, pochodzi od wolnych cząsteczek, wolnych względnie związanych atomów. Cząsteczki zaś tej samej substancji w stanie ciekłym lub stałym podlegają działaniu sił tak potężnych, że trudno przypuścić, iżby one żadnego wpływu na prędkość światła nie wywierały. Dlatego regule wyrażającej „refrakcję molekularną pewnego ciała jako sumę iloczynów z refrakcji atomowych jego składników przez liczbę ato-

<sup>1)</sup> K. Prytz, Wied. Ann. 11, str. 104 (1880).

mów“ można w odniesieniu do ciał stałych i ciekłych przypisać co najwyżej wartość reguły empirycznej. W zastosowaniu do gazów, odniesionych do stanu normalnego t. zw., w zastosowaniu do tej samej liczby różnych cząsteczek, znajdujących się w identycznych warunkach ciśnienia i temperatury, reguła Gladstone'a i Dale'a nabiera znaczenia teoretycznego. Jesliby się bowiem okazało, że reguła ta sprawdza się w doświadczeniu zawsze bez znacniejszych wyjątków — wówczas należałoby wnosić, że refrakcja związku chemicznego jest niejako złożona z części, przynależnych różnym pierwiastkom, i że każdy z nich wpływa na prędkość światła niezależnie od innych. Znaczyłyby to, że drgania wymuszone elektronu w jednym atomie odbywają się zgoła niezależnie od drgań, zachodzących w tonie drugiego atomu tej samej cząsteczki; przemawiałoby to za tem, że mechanizm sił elastycznych, ściągających elektron w położenie równowagi, dany jest przez naturę samego atomu, a nie może ulec zmianie przez skombinowanie atomów w cząsteczkę.

**Refrakcja pierwiastków.** Z pośród pierwiastków, które w stanie gazu lub pary zbadane zostały dotychczas pod względem optycznym, wymieniliśmy.

H, O, N, He, Ar, Kr, Ne, Xe, Cl, Br, J, S, F, P, Hg, Zn, Cd, Se, As, Te. Zapytajmy, czy refrakcja tych pierwiastków zależy w jakiś prosty sposób od ich ciężarów atomowych? C. Cuthbertson<sup>1)</sup> zauważył, że jeśli pierwiastki te ułożymy w rzędy według systemu peryodycznego, wówczas ukażą się zarysy pewnej prawidłowości, która jednak przemawia przeciw temu, jakoby refrakcja była prostą funkcją ciężaru atomowego. Pomijając bowiem cynk, kadm i rtęć, możemy inne wymienione wyżej ciała ułożyć według systemu peryodycznego w następujące gromady:

	Pierwiastek	$(\nu_D - 1) 10^6$	Stosunek	Odstępstwo od reguły w proc.	Autor
0	He (4) . . .	34,9*	1		Burton
	Ne (20) . . .	68,7	2	-1,0	Ramsay i Travers
	Ar (39,9) . . .	283,7	8	+1,3	Burton
	Kr (81,8) . . .	427,3	12	+1,6	C. i M. Cuthbertson
	Xe (128) . . .	702,0	20	+0,3	„ „
VII	F (19) . . .	195*	2	+1,5	Cuthbertson i Prideau
	Cl (35,45) . . .	768	8		Mascart
	Br (79,96) . . .	1125	12	-2,3	„
	I (126,85) {	1920 (f)	20	0	Hurion
		2050 (cz)		+6,4	

<sup>1)</sup> Obok wymienionych wyżej rozpraw tego autora por. Science Progress № 10 Oct. 1908.

Pierwiastek	$(\nu - 1) \cdot 10^6$	Stosunek	Odstępstwo od reguły w proc.	Autor
VI	O (16,00)	270,2*	2	Mascart
	S (32,06)	1101,0	+2,2	Cuthbertson i Metcalfe
	Se (79,2)	1565,0	-4,0	" "
	Te (127,6)	2495,0	-8,0	" "
V	N (14,04)	297,1*	2	Scheel
	P (31,0)	1212,0	-20	Cuthbertson i Metcalfe
	As (75,0)	1552	-17	" "

W kolumnie drugiej wypisane są spójczynniki dla fali  $\lambda = 589 \mu\mu$ . Te, które oznaczono gwiazdką (\*), służą za podstawę do obliczenia stosunków, wypisanych w kolumnie trzeciej. Pojęcie o przybliżeniu, z jakim sprawdza się w doświadczeniu „reguła stosunków wyrażonych liczbami całkowitemi”, daje nam kolumna czwarta.

Interesującemu temu spostrzeżeniu Cuthbertsona nie można na razie przynajmniej przypisywać donioślejszego znaczenia teoretycznego; zbyłto szczerze jeszcze są jego podstawy faktyczne. Zauważyć tylko wypada, iż odnośnie do tych czterech gromad pierwiastków, które zbadane zostały w stanie gazu lub pary, reguła powyższa stwierdza, że w każdej gromadzie refrakcja rośnie ze wzrostem ciężaru atomowego i że jest tem wyższa, im większa jest wartościowość pierwiastka. Przy obecnym stanie wiedzy o refrakcji nie umiejemy jednak żadnej z tych zależności bliżej teoretycznie objaśnić.

**Refrakcja związków chemicznych.** Większe znaczenie dla teorii mogłaby, jak wyżej wspomniano, mieć zależność pomiędzy refrakcją prostych związków chemicznych a refrakcją składników. Zestawmy wyniki pomiarów, przytoczonych w rozdziale V, w ten sposób, że obok refrakcji kilku pierwiastków wypiszemy wartość  $(\nu - 1) \cdot 10^6$  dla kilku najprostszych związków gazowych.

Pierwiastek	$\lambda$ w $\mu\mu$	$(\nu - 1) \cdot 10^6$	Autor
H <sub>2</sub>	546,1	139	Cuthbertson
O <sub>2</sub>	"	271	" "
N <sub>2</sub>	"	298	Scheel
Cl <sub>2</sub>	"	784	Cuthbertson
Br <sub>2</sub>	"	1185	"
I <sub>2</sub>	czerw.	2050	Hurion
		1920	
S <sub>2</sub>	589,3	1101	Cuthbertson

Związek	$\lambda$ w $\mu\mu$	$(\nu - 1) \cdot 10^6$	Refrakcja (obl)	Różnica w %
H <sub>2</sub> O	546,1	253	139 + 135 = 274	-8,3%
NH <sub>3</sub>	"	379	149 + 209 = 358	+5,5
HCl	"	448	69 + 392 = 461	-2,9
HBr	"	615	69 + 592 = 66	-7,4
HI	czerw.	960	69 +   960 = 1029	-11,5
		1025		
H <sub>2</sub> S	546,1	644	139 + 550 = 689	-7,0
SO <sub>2</sub>	"	644	550 + 270 = 820	-24,2
N <sub>2</sub> O	"	510	297 + 135 = 432	+15,2
NO	"	295	148 + 135 = 283	+4,0.

Z tablic powyższych wynika, że w żadnym z przytoczonych przypadków refrakcja obserwowana nie równa się sumie refrakcji składników. Różnicy nie podobna sobie wytłumaczyć błędami obserwacji, ponieważ waha się ona pomiędzy 4 a 24%, podczas gdy spójczynniki załamania poszczególnych pierwiastków i związków zmierzone zostały z dokładnością 1 na tysiąc, a w najgorszym razie 1 na sto.

Do tego samego wniosku prowadzi również obliczenie refrakcji pary węgla z refrakcji prostych związków gazowych, zawierających węgiel w swym składzie:

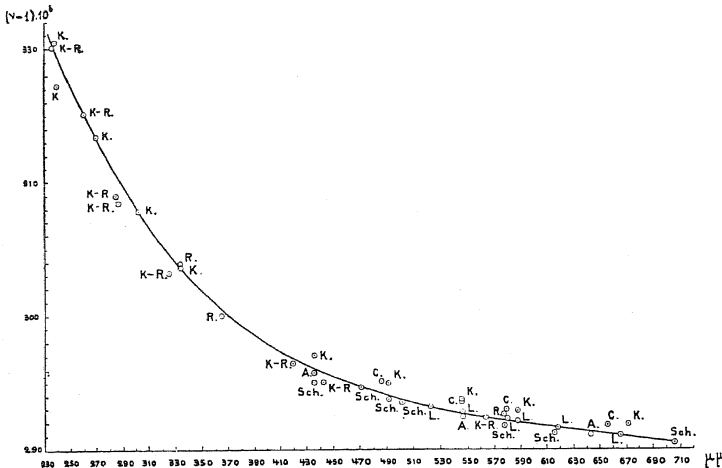
Związek	$\lambda$ w $\mu\mu$	$(\nu - 1) \cdot 10^6$	$x$	Autor
CH <sub>4</sub>	589,3	443 = 278 + $x$	165	Loria
C <sub>2</sub> H <sub>2</sub>	"	610 = 139 + $x$	235	Mascart
C <sub>2</sub> H <sub>4</sub>	"	723 = 278 + $x$	222	"
C <sub>2</sub> H <sub>6</sub>	"	753 = 417 + $x$	167	Loria
CO <sub>2</sub>	"	449 = 271 + $x$	178	Koch
CO	"	334 = 135 + $x$	199	Perreau
CS <sub>2</sub>	"	1480 = 1101 + $x$	379	Lorenz
C <sub>2</sub> N <sub>2</sub>	"	784 = 297 + $x$	243	Ketteler

**Refrakcja mieszaniny. Powietrze.** Aby ocenić znaczenie teoretyczne wyników streszczonych w powyższych tablicach, porównajmy zdolność załamania mieszaniny gazowej z refrakcją jej składników. Klasycznym przykładem takiej mieszaniny, w której dyspersja spójczynnika załamania zbadana została wielokrotnie przez wielu badaczy i której składniki są również bardzo dobrze scharakteryzowane pod względem optycznym, jest powietrze.

Pomiary, wykonywane w różnych czasach i miejscach różnymi metodami przez wszystkich niemal wymienionych w poprzednich rozdziałach badaczy, dały wyniki dostatecznie zgodne.<sup>1)</sup> Ryc. 1 przedstawia przebieg krzywej

<sup>1)</sup> Por. Landolt-Börnstein, Physikalisch-chemische Tabellen str. 1017 (1912).

dyspersji w szerokim zakresie widma od 230 do 710  $\mu\mu$ , narysowanej przy pomocy dat, zaczerpniętych z nowszych prac: J. Koča, Kaysera i Run-



Ryc. 1.

tego, Rentschlera, Scheela, Ahrberga, C. i M. Cuthbertsonów i S. Lorii.

Pomijając  $\text{CO}_2$  i  $\text{NH}_3$ , występujące w nader drobnych ilościach w suchym powietrzu, możemy wyrachować refrakcję powietrza atmosferycznego jako mieszaniny tlenu, azotu i argonu. Zawiera ono w 100  $\text{cm}^3$  20,84 części tlenu, 78,22 części azotu i 0,94 części argonu.

Wypiszmy ich spólczynniki dla  $\lambda = 546,1 \mu\mu$ :

Gaz	$(\nu - 1) \cdot 10^6$	Obserwator
O . . .	271,7	C. i M. Cuthbertson
N . . .	299,8	" "
Ar . . .	284,6	Burton

Z rachunku otrzymamy  $(\nu - 1) 10^6 = 293,8$ .

C. i M. Cuthbertsonowie znaleźli doświadczalnie dla powietrza suchego i pozbawionego  $\text{CO}_2$ :

$$(\nu - 1) \cdot 10^6 = 293,6.$$

Okazuje się przeto: że podczas gdy zdolność załamania światła w mieszaninie gazowej można z dostatecznym przybliże-

niem wyliczyć z refrakcji składników — zastosowanie tej samej reguły postępowania do związku chemicznego i składających go pierwiastków prowadzi do wyników sprzecznych z doświadczeniem.

Fakt powyższy — o ile zostanie jeszcze potwierdzony przez nowe doświadczenia — będzie mógł posłużyć za podstawę do następującego wniosku: Drgania elektronów, pobudzanych przez falę świetlną a skrepowanych w łonie atomu nieznanymi nam bliżej siłami quasielastycznymi, nie są niezależne od roli, jaką atom odgrywa w cząsteczce. „Elektrony dyspersyjne“ są więc prawdopodobnie czynne także i w mechanizmie wiązania atomów w drobinę.

Dyspersja a wartościowość. Wzór

$$\nu - 1 = \frac{C}{n_0^2 - n^2},$$

który zdaje dostatecznie wiernie sprawę z przebiegu dyspersji wielu gazów w dziedzinie widzialnego widma, wyprowadzony został z przypuszczenia, że cząsteczki zawierają po jednym tylko elektronie jednej kategorii, określonej częstością drgania własnego ( $n_0$ ). Liczba „elektronów dyspersyjnych“ w jednostce objętości gazu w stanie normalnym była więc równa liczbie cząsteczek ( $N$ ).

Fakty, które poznaliśmy obecnie, skłaniają do uogólnienia naszych założeń. Skoro doświadczenie przemawia za tem, by elektronom dyspersyjnym przypisać też rolę czynną w mechanizmie tworzenia się cząsteczek z atomów, przeto ich liczba w cząsteczkach różnych gazów musi być w ogóle zależna od natury gazu. Niechaj liczba cząsteczek w jednostce objętości będzie  $q$ , liczba zaś elektronów dyspersyjnych w każdej cząsteczce niech będzie  $p$ ; pisząc

$$pq = N,$$

wprowadzimy do naszych rozważań wspomniane uogólnienie, nie zmieniając rachunków pod względem formalnym.

Drude<sup>1)</sup> wyraził przypuszczenie, że liczbę  $p$  będzie można ocenić z wartościowości ( $w$ ) pierwiastków składających cząsteczkę gazu. Położmy

$$p = \Sigma w = v. \quad (1)$$

Dla gazów, których dyspersja wyraża się wzorem

<sup>1)</sup> P. Drude, Ann. d. Phys. I. c.



$$v^2 - 1 = \frac{D\lambda^2}{\lambda^2 - \lambda_0^2}, \quad (2)$$

mamy związek

$$p \frac{e}{m} = 7,3 \frac{D}{\lambda_0^2}. \quad (3)$$

Równość (2) jest równoważna wzorowi

$$v - 1 = \frac{C}{n_0^2 - n^2}, \quad (4)$$

ponieważ

$$D = \frac{2C\lambda_0^2}{\epsilon_0^2}. \quad (5)$$

Dzieliąc (5) przez (3), otrzymamy

$$\frac{C}{p} = \text{const.}, \quad (6)$$

czyli, na mocy (1),

$$\frac{C}{v} = \text{const.}$$

Wniosek ten sprawdza się istotnie w wodrze, tlenie i azocie:

Gaz	C w 10 <sup>27</sup>	$\frac{v}{2}$	$2\frac{C}{v}$
H <sub>2</sub> . . . . .	1,692	1	1,692
O <sub>2</sub> . . . . .	3,397	2	1,698
N <sub>2</sub> . . . . .	5,034	3	1,678

Zawodzi jednak w zastosowaniu do innych gazów:

Gaz	C w 10 <sup>27</sup>	$\frac{v}{2}$	$2\frac{C}{v}$
P . . . . .	7,61	4 $\frac{1}{2}$ (?)	1,691
S . . . . .	4,808	3 (?)	1,603

Analogiczne obliczenie wykonywał Natanson<sup>1)</sup> przy pomocy stałej

$$\Delta = 3\pi\epsilon_0^2 \frac{m}{e^2 N}, \quad (7)$$

którą obliczyć można z dwóch wartości współczynników załamania  $v_1$  i  $v_2$  dla  $\lambda_1$  i  $\lambda_2$ . Z równania (3) w Rozdz. V otrzymamy

$$\Delta = \frac{3(v_1 - v_2)\lambda_1^2\lambda_2^2}{2(v_1 - 1)(v_2 - 1)(\lambda_2^2 - \lambda_1^2)}. \quad (8)$$

Łatwo okazać, że stała  $\Delta$  związana jest prostym związkiem ze stałą  $C$ .

Iloczyn

$$p\Delta = v\Delta = \frac{3\pi\epsilon_0^2}{m \cdot q} = \text{const.} \quad (9)$$

powinien być niezależny od natury gazu. Natanson wyrachował  $v\Delta$  dla całego szeregu gazów:

Gaz	$\Delta$ w 10 <sup>-7</sup> cm <sup>2</sup>	$v\Delta$	Autor
H <sub>2</sub> ( $v = 2$ ) . . . . .	7,39	14,78	Ketteler
	8,35	16,70	Lorenz
	8,34	16,68	Perreau
	7,88	15,76	Koch (1905)
	7,60	15,20	Scheel
O <sub>2</sub> ( $v = 4$ ) . . . . .	8,45	16,90	Koch (1909)
	7,98	15,96	C. i M. Cuthbertson
	3,76	15,04	Lorenz
	3,73	14,92	Mascart
	3,95	15,80	Koch (1905)
CO <sub>2</sub> ( $v = 8$ ) . . . . .	3,70	14,80	Rentschler
	4,11	16,44	Ahrberg
	3,97	15,90	Cuthbertson
	3,87	15,48	Koch (1909)
	2,67	16,02	Cuthbertson
	2,80	16,66	Rentschler
	2,09	16,72	Mascart
	2,15	17,20	Perreau
	2,18	17,44	Rentschler
	2,22	17,76	Koch
CS <sub>2</sub> . . . . .	2,63	21,04 (?)	Gruschke
	2,96	23,65 (?)	Stuckert
SO <sub>2</sub> ( $v = 8$ ) . . . . .	2,22	17,76	Lorenz
	2,10	16,80	Ketteler
H <sub>2</sub> S ( $v = 6$ ) . . . . .	2,36	18,80	Cuthbertson
	2,80	16,80	Cuthbertson
CO ( $v = 4$ ) . . . . .	3,67	14,68	Perreau
	3,71	14,84	Mascart
	3,69	14,76	Koch (1909)
	3,64	14,57	Gruschke

<sup>1)</sup> L. Natanson, Bull. de l'Ac. des Sc. de Cracovie za kwiecień 1907 i za gruzień 1909.

Jeżeli opuścimy wartości Gruschkego i Stuckerta dla CO<sub>2</sub>, jako jaskrawo niezgodne z innymi, otrzymamy średnią:

$$v\Delta = 16,3 \cdot 10^{-7} \text{ cm}^2.$$

Średnie dla poszczególnych gazów wahają się około tej liczby w granicach 10%, ale i wartości w obrębie jednego gazu wykazują wahania nie mniejsze.

Istnieje jednak cały szereg gazów, dla których  $v\Delta$  okazuje się znacznie różne od owej średniej wartości. I tak

Gaz	$\lambda$	$v\lambda$	Autor
CH <sub>4</sub> ( $v = 8$ ) . .	4,48	35,84	Loria
	2,73	21,84	Koch
	3,27	26,16	Kessler
C <sub>2</sub> H <sub>2</sub> ( $v = 10$ ) .	2,84	28,4	Stuckert
	4,05	40,5	Loria
C <sub>2</sub> H <sub>4</sub> ( $v = 12$ ) .	3,10	37,2	Loria
	2,40	28,8	Stuckert
	2,68	32,16	Kessler
C <sub>2</sub> H <sub>6</sub> ( $v = 14$ ) .	2,03	28,42	Loria
	1,61	22,54	Stuckert

Faktowi temu nie można dziś jeszcze przypisywać donioślejszego znaczenia, ponieważ pomiary te są bardzo między sobą niezgodne i wymagają rewizji.

Niezupełnie jasne jest zachowanie się gazów t. z. szlachetnych, które wykazują także dyspersję współczynnika załamania:

Gaz	$\lambda$	Autor
He . . .	10,2	Cuthbertson-Metcalf
	9,4	Burton
	51,2	Herrmann
Ag . . .	2,93	Burton
	4,06	Ahrberg

Są to gazy nieczyste, nie biorą udziału w łączeniu się w cząsteczki, nie można więc stosować do nich pojęcia  $v$  ni reguły  $v\Delta$ .

Nadmienić także wypada, że reguła  $v\Delta$  jest niezmiernie czułym problemem dokładności pomiarów. Prawdopodobnie nie wystarczają też dotychczasowe pomiary dyspersji w gazach do ścisłego jej sprawdzenia. Wypowiedziana z zastrzeżeniem, jako hipoteza robocza nie rości sobie jednak bynajmniej praw reguły ogólnej.

## ROZDZIAŁ VII.

### Normalna dyspersja w gazach.

W rozdziałach poprzednich ograniczaliśmy rozważania nasze wyłącznie do tych obszarów widma, które są dostatecznie odległe od dziedzin absorbcyj; przebieg dyspersji jest w nich normalny. O t. zw. anormalnej dyspersji wspominaliśmy tylko okolicznościowo, podnosząc, że przebiegu współczynnika załamania w obrębie wąskiego prążka absorbcyj nie udało się dotychczas prześledzić w doświadczeniu. Dostępne są tylko szybkie zmiany współczynników załamania w najbliższym otoczeniu prążków absorbcyjnych. Koch stwierdził w ten sposób anomalie w CO<sub>2</sub>, CO i CH<sub>4</sub> w podczerwonej części widma. Zaobserwowano anormalny przebieg krzywej dyspersji w parach metali alkalicznych<sup>1)</sup> oraz w wodorze<sup>2)</sup> i rtęci<sup>3)</sup>, świecących pod wpływem prądu elektrycznego. Szczegółowe sprawozdanie z wyników tych badań wykracza poza ramy niniejszej monografii. Dlatego pokrótce tylko wspomnę o kilku najważniejszych spostrzeżeniach, które mają bezpośredni związek z obchodzącą nas sprawą budowy atomu.

Rozważania, oparte na dyskusji materiału doświadczalnego w zakresie dyspersji normalnej, doprowadziły do wniosku, że liczba elektronów, biorących czynny udział w dyspersji, jest w ogóle bardzo mała w porównaniu z liczbą atomów gazu. Taki sam wniosek wyprowadzić można z pomiarów dyspersji światła w nieświecącej parze sodu<sup>4)</sup> w otoczeniu linii D<sub>1</sub> i D<sub>2</sub> oraz ze spostrzeżeń Bevana odnośnie do pary potasu<sup>5)</sup>. Jeszcze słabsza jest jonizacja optyczna w wodorze<sup>6)</sup> świecącym w rurce Geisslera: na kilkadziesiąt tysięcy atomów wodoru przypada tu średnio jeden elektron dyspersyjny. Obserwacje Bevana, Roschdestwenskogo i Ladenburga wykazały, że liczba elektronów dyspersyjnych różnych kategorii jest w ogóle różna i zależy od warunków emisji, względnie absorbcyj. Z pomiarów Bevana wynika, że  $N$  zależy od temperatury absorbującej pary. Ladenburg stwierdził, że w wodorze świecącym  $N$  rośnie proporcjonalnie do amplitudy prądu. Ważne dla sprawy budowy atomu będą niewątpliwie spo-

<sup>1)</sup> Por. monografię autora p. t. „O dyspersji światła w parach metali”. Rozpr. Akademii Umiejętności. A 49, str. 445 (1910).

<sup>2)</sup> P. Ladenburg i S. Loria, Wiad. mat. T. 13 (1909).

<sup>3)</sup> P. P. Koch i W. Friedrich, Phys. Zt. 12 str. 1193 (1911).

<sup>4)</sup> S. Loria, Bull. Acad. Cracovie, Juin (1909), str. 39 D. Roschdestwensky, Ann. d. Phys. 89, str. 307 (1912).

<sup>5)</sup> P. V. Bevan, Proc. Roy. Soc. 82, str. 72 (1910). 83, str. 421 (1910); 84, str. 209 (1910); 85, str. 54 (1911); 85, str. 58 (1911).

<sup>6)</sup> R. Ladenburg i S. Loria j. w. R. Ladenburg, Ann. d. Phys. 88, str. 250 (1912).

strzeżenia, dotyczące stosunku liczb elektronów dyspersyjnych różnych kategorii, odpowiadających stale ze sobą związanym liniom, tworzącym seryje widmowe. Roschdestwenski znalazł w sodzie dla dubletu seryi głównej ( $D_1$  i  $D_2$ ):

$$\frac{N_{D_1}}{N_{D_2}} = 1,98.$$

Gouy<sup>1)</sup> stwierdził w rubidzie dla dubletu 420,2  $\mu\mu$  i 421,5  $\mu\mu$

$$\frac{N_2}{N_1} = 3.$$

Z pomiarów Ladenburga wynika:

$$\frac{N_{H_\alpha}}{N_{H_\beta}} = 4,8$$

Schaefer<sup>2)</sup> zauważył, że  $N_i$  t. zn. liczba elektronów „kategorii  $n_{0i}$ “ jest dla danej seryi tem mniejsza, im większa jest częstość drgania własnego. Jeśli więc gaz wysyła  $i$  linii tworzących seryę ( $i = 1, 2, 3, \dots n$ ), to  $N_i$  będzie tem mniejsze, im wyższy weźmiemy numer porządkowy  $i$ . Reguła ta, którą poprzeć można wynikami doświadczeń Bevana i Ladenburga, jest jednak zgodna z przypuszczeniem, że linie widmowe, należące do jednej seryi, są wysyłane przez jeden tylko twór drgający, a nie przez elektrony „różnych kategorii“.

Zaznaczyliśmy na początku niniejszego studium, że rozwój wiadomości o naturze światła usprawiedliwia pytanie: czy i co nam o budowie atomów powiedzieć mogą losy fal świetlnych w materii. Pytanie takie nie wydaje się nam dzisiaj zbyt śmiałym; równocześnie bowiem i w innych dziedzinach wiedzy fizycznej (promieniotwórczość, jonizacja i t. p.) wre praca nad wytworzeniem obrazu elektronowej struktury atomu.

Gdybyśmy atoli zechcieli przy pomocy tych przez teorię i doświadczenia nagromadzonych wiadomości o refrakcyi i dyspersyi światła w gazie (najlepiej pod względem fizycznych scharakteryzowanym dziś stanie materii) pokusić się o odpowiedź — nie byłaby ona zadawalającą. Wszystko, czego się dotychczas dowiedzieliśmy o liczbie elektronów dyspersyjnych, o częstości ich drgania własnego, nie wyłączając nawet i tego, czego się ewentualnie z badań nad absorbcją dowiedzieć zdołamy o czynniku dysypacyjnym w równaniu drgania elektronu, ma charakter ogólnikowych tylko wskazówek lub domysłów. Produkcyjnym stanie się niewątpliwie ten zasób wiedzy wówczas dopiero, gdy zdobędziemy dość prosty, a zarazem do wyłomaczenia zawitych zjawisko elektro- i magneto-optycznych nadający się model atomu.

<sup>1)</sup> Gouy, Ann. de Chim. et. de Phys. 18, str. 70 (1879).

<sup>2)</sup> C. Schaefer, Ann. d. Phys. 41, str. 866 (1913).

WITOLD RYBCZYŃSKI.

## Spółczesne teorie powstawania promieni Röntgena.

Les théories modernes relatives à l'origine des rayons Röntgen.

### § 1. Teorya elektromagnetyczna. Podział promieni röntgenowskich.

Niebawem po zdumiewającym odkryciu Röntgena, Stokes<sup>1)</sup> w Anglii i Wiechert<sup>2)</sup> w Niemczech rozwinęli teorię, według której promienie röntgenowskie są drganiami elektromagnetycznymi, zawdzięczającymi swą energię przeobrażeniu energii kinetycznej cząsteczek katodowych, zatrzymanych nagle przez substancję antikatody.

Teorya ta znalazła szereg potwierdzeń, ale równocześnie podległa znacznym modyfikacyom. Ch. Barkla<sup>3)</sup> zauważył, że promienie röntgenowskie wtórne składają się z dwojakiego rodzaju drgań: spolaryzowanych i niespolaryzowanych. Następnie Stark<sup>4)</sup> wykazał, że tę samą własność posiadają i promienie główne. Barkla w następujący sposób wykonał swe doświadczenia nad polaryzacją promieni wtórnych. Wiązki promieni głównych rzucił na ściankę węglową. Jak wiadomo, ciało pod wpływem promieni röntgenowskich staje się samo źródłem promieni t. zw. wtórnych. Z tych wybrał Barkla taką wiązkę, której oś była prostopadła do kierunku promieni głównych. Wiązka wtórna padała znów na płytkę węglową, która pod jej wpływem wysyłała promienie trzeciorzędne. Z tych wyodrębnił pęk, którego oś była prostopadła do osi wiązki wtórnej i badał jego natężenie za pomocą zdolności jonizacyjnej. W ten sposób zmierzył natężenie promieni trzecio-

<sup>1)</sup> Proceedings of the Cambridge Phil. Soc. 9, (1896).

<sup>2)</sup> Abh. phys. 6k. Ges. Königsberg (1896).

<sup>3)</sup> Nature (1904), Phil. Transactions 24 (1905).

<sup>4)</sup> Phys. Zeitschr. 10 (1909).